

BONE, s.r.o., Bytčická 16, 010 01 Žilina, IČO: 48 027 944, DIČ: 20 241 85 405
tel.: 0904 317 233

STATICKÝ VÝPOČET
SO 01 PREMOSTENIE VODNÉHO TOKU KORŇANKA

Vypracoval: Ing. Ján Mikuš

Žilina 07/2015

Obsah

1.	Úvod.....	3
1.1.	Popis konštrukcie mosta	3
1.2.	Spôsob statického výpočtu	4
1.3.	Použité normy a predpisy	4
1.4.	Výpočtový model	6
2.	Stavebné materiály.....	7
2.1.	Betón	7
2.2.	Betonárska výstuž	7
2.3.	Predpínacia výstuž	7
3.	Zaťaženie	8
3.1.	Zaťaženie – vlastná tiaž G_0	8
3.2.	Zaťaženie – mostný zvršok G_1	8
3.3.	Premenné zaťaženie od dopravy Q – LM1.....	8
3.4.	Premenné zaťaženie od dopravy Q – LM2.....	9
3.5.	Premenné zaťaženie od dopravy Q – LM4.....	10
3.6.	Únavová zaťažovacia schéma 3 – FLM3	10
3.7.	Trenie v ložiskách.....	10
3.8.	Rozjazdové a brzdné sily	10
3.9.	Zaťaženie vetrom.....	11
3.10.	Zaťaženie opôr zemným tlakom	11
3.11.	Montážne zaťaženie počas výstavby	12
4.	Kombinácie zaťažení.....	12
4.1.	Návrhové kombinácie zaťažení MSU	12
4.2.	Kombinácie zaťažení pre MSP	13
5.	Nosná konštrukcia.....	14
5.1.	Vnútorné sily – pozdĺžny smer	14
5.2.	Medzný stav únosnosti MSU – priečny smer	16
5.2.1.	Medzný stav únosnosti MSU – priečny smer – doska.....	16

6.	Príslušenstvo.....	17
6.1.	Návrh ložísk.....	17
6.1.1.	Návrh ložísk – únosnosť (prevádzkové zaťaženia)	17
6.1.2.	Návrh mostných záverov - pohyby	18
7.	Spodná stavba	19
7.1.1.	Prehľad reakcií v pilótaх	19
7.1.2.	Návrh pilót.....	23
7.1.3.	Návrh betonárskej výstuže opory	29
8.	Záver.....	37

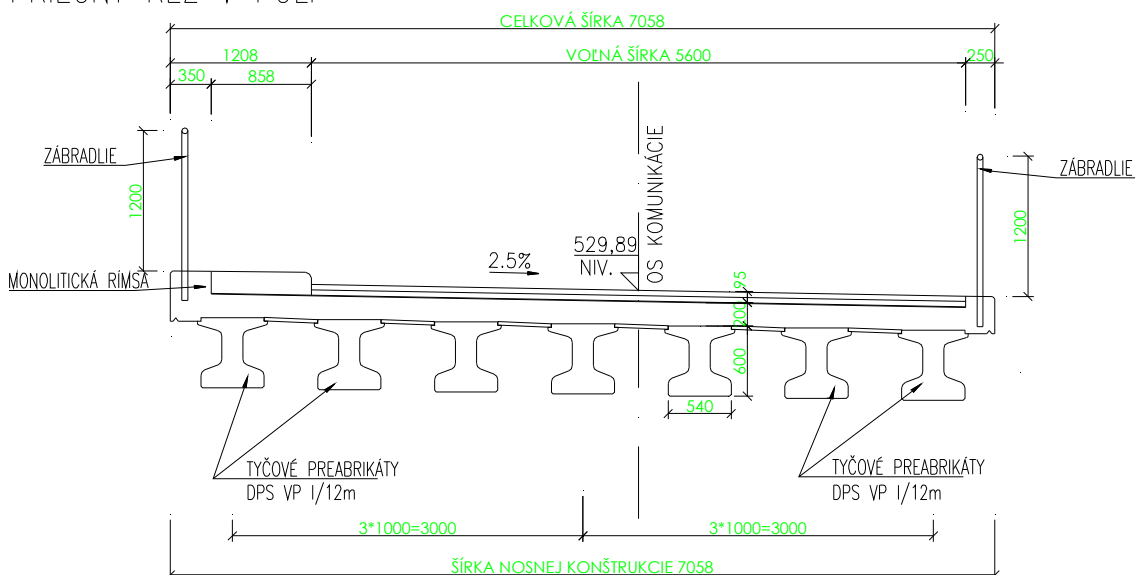
1. Úvod

Predmetom statického výpočtu je návrh a posúdenie nosnej konštrukcie premostenia potoka. Most prevádzka komunikáciu ponad potok Korňanka. Zakladanie a spodná stavba je prispôsobená základovým pomerom v mieste stavby.

1.1. Popis konštrukcie mosta

Nosná konštrukcia je navrhnutá ako staticky určitá jednopoložová trámová konštrukcia s rozpäťom 10,9m. Priečny rez mosta je tvorený siedmymi tyčovými prefabrikátmi výšky 0,6m, v osových vzdialenosťach 1,0m, tieto sú uložené na elastomérové ložiská a zmonolitnené do betonávkou priečnikov spolu so spriahajúcou doskou do jedného celku. Nosníky sú navrhnuté z triedy betónu C45/55, betonárskej výstuž B500B a predpínacej výstuže LS15,7-1860MPa. Spriahajúca doska a priečniky sú z betónu C30/37 a betonárskej výstuže B500B.

PRIEČNY REZ V POLI



Obr. 1.1 Priečny rez mosta

Pevné ložiská sa nachádzajú na opore 1. Každý nosník je uložený na elastomérovom ložisku v rámci jednej osi uloženia.

Nosná konštrukcia bude budovaná po etapách, začne sa uložením nosníkov na dočasne stabilizované ložiská pomocou žeriavu. Nasledovať bude doarmovanie priečnikov, pokládka cetris dosiek – stratené debnenie, a uloženie výstuže spriahajúcej dosky. Betonáž spriahajúcej dosky bude realizovaná od opory 2.

Spodná stavba je tvorená šikmými oporami s rovnobežným krídlami. Opory sú založené hĺbkovo.

1.2. Spôsob statického výpočtu

Statický výpočet bol vypracovaný na základe platných Európskych noriem a národných príloh. Výpočet vnútorných síl vychádza z teórie lineárnej pružnosti.

Pre získanie síl od vonkajších zaťažení na jednotlivé nosníky bol zvolený roštový model, ktorý zohľadňuje spolupôsobenie nosníkov v priečnom smere pomocou spriahajúcej dosky a priečnikov. Výpočet bol realizovaný pomocou programu Strap 2010, výsledky boli spracované pomocou tabuľkového procesora. Návrh výstuže v priečnom smere nosnej konštrukcie bol realizovaný na základe vnútorných síl z dosko-stenových priestorových modelov. Na návrh výstuže bol použitý tabuľkový procesor.

Výpočet reakcií na spodnú stavbu bol realizovaný na rovnakom výpočtovom modely – priestorový prútový model vytvorený v programe Strap 2010.

Spodná stavba bola analyzovaná pomocou doskovo-stenových priestorových modelov (opory) resp. pomocou tabuľkových procesorov (podpery) taktiež bol využitý program Mathcad a Fin (návrh a posúdenie betonárskej výstuže).

Zakladanie bolo navrhnuté a posúdené pomocou programov Geo 5, tabuľkového procesora a programu Mathcad.

Zoznam použitých výpočtových programov:

- Strap 2010 (vnútorné sily na NK, reakcie, opory, seismický výpočet...)
- MS Office (spracovanie číselných výstupov)
- MathCAD (čiastkové návrhy a posúdenia)
- AutoCAD (grafické prílohy, schémy, výpočet prierezových charakteristík a pod.)
- Geo5 (zakladanie)
- Fin (návrh výstuže do prierezov, posudky prierezov)

1.3. Použité normy a predpisy

STN EN 1990 Zásady navrhovania konštrukcií

STN EN 1991-1-1 Objemová tiaž, vlastná tiaž a úžitkové zaťaženia budov

STN EN 1991-1-4 Zaťaženie vetrom

STN EN 1991-1-5 Zaťaženie účinkami teploty

STN EN 1991-1-6 Zaťaženia počas výstavby

STN EN 1991-1-7 Mimoriadne zaťaženia

STN EN 1991-2 Zaťaženie mostov dopravou

STN EN 1992-1-1 Navrhovanie betónových konštrukcií. Časť 1-1: Všeobecné pravidlá a pravidlá pre budovy

STN EN 1992-2 Navrhovanie betónových konštrukcií. Časť 2: Betónové mosty. Navrhovanie a konštruovanie

STN EN 1993-1-1 Navrhovanie oceľových konštrukcií. Časť 1-1: Všeobecné pravidlá a pravidlá pre budovy

STN EN 1993-2 Navrhovanie oceľových konštrukcií. Časť 2: Oceľové mosty

STN EN 1997-1 Navrhovanie geotechnických konštrukcií. Časť 1: Všeobecné pravidlá

STN EN 1997-2 Navrhovanie geotechnických konštrukcií. Časť 2: Prieskum a skúšanie horninového prostredia

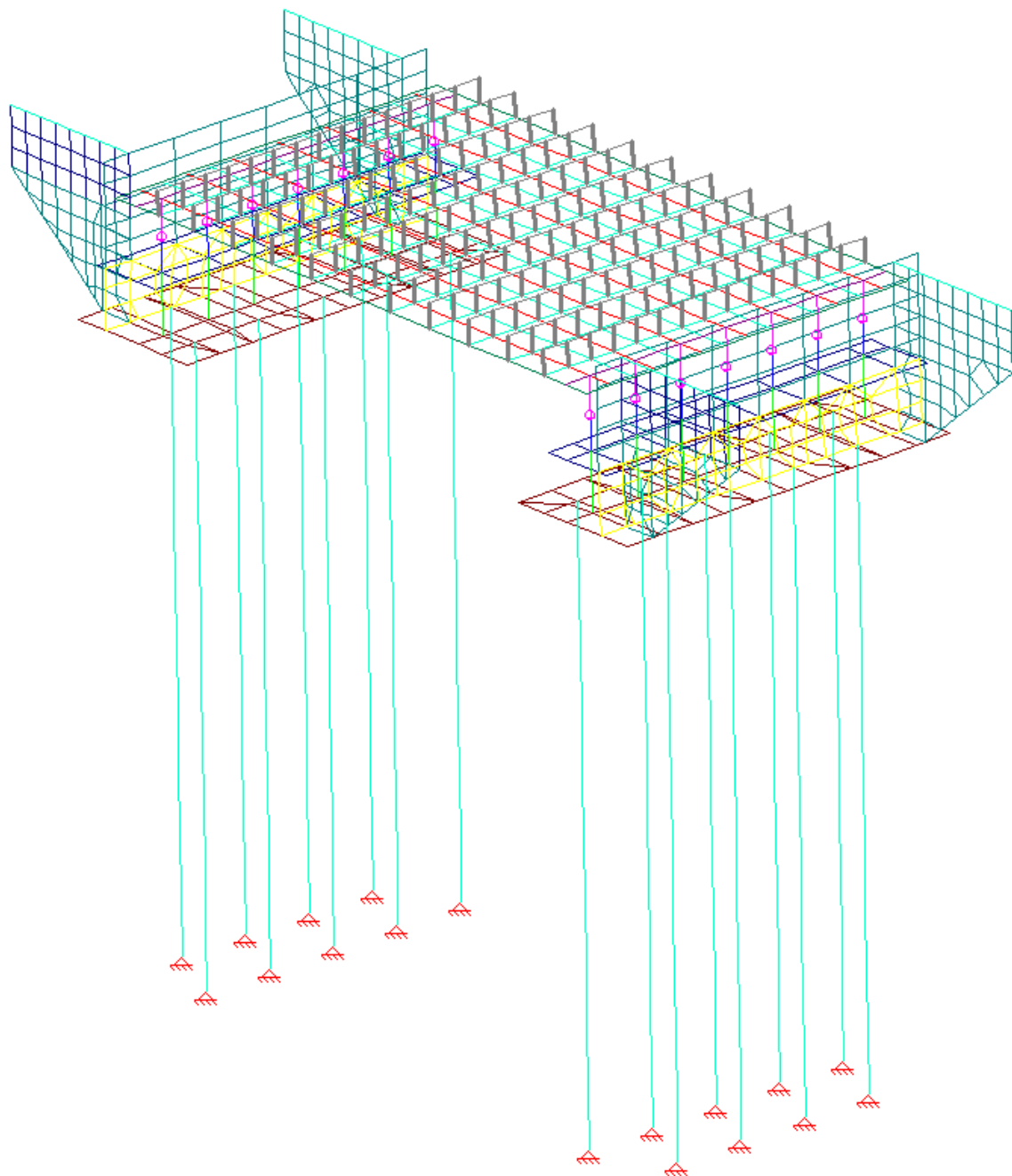
STN EN 1998-1 Navrhovanie konštrukcií na seizmickú odolnosť. Časť 1: Všeobecné pravidlá, seizmické zaťaženia

STN EN 1998-2 Navrhovanie konštrukcií na seizmickú odolnosť. Časť 2: Mosty

STN 73 1001 Klasifikácie zemín a skalných hornín

1.4. Výpočtový model

Výpočet vnútorných síl použitých pre posúdenia bol uskutočnený pomocou rošťového modelu, ktorý zohľadňuje spolupôsobenie nosníkov v priečnom smere pomocou spriahajúcej dosky a priečnikov. Ložiská boli namodelované pomocou väzieb spojených s oporou, tieto boli uvoľňované v závislosti od usmernenia ložísk.



Obr. 1.4 Výpočtový model – Strap

2. Stavebné materiály

2.1. Betón

Trieda betónu nosnej konštrukcie:

C30/37, $f_{ck}=30\text{ MPa}$; $f_{cd}=17,0\text{ MPa}$; $f_{ctm}=2,9\text{ MPa}$; $E_{cm}=33\text{ GPa}$

C45/55, $f_{ck}=45\text{ MPa}$; $f_{cd}=25,5\text{ MPa}$; $f_{ctm}=3,8\text{ MPa}$; $E_{cm}=36\text{ GPa}$

Pre časovo závislý výpočet boli uvažované nasledovné charakteristiky: RH=70%; rýchlo tuhnúci cement, časové údaje sú uvedené v schéme postupu výstavby. Dotvarovanie a zmrašťovanie betónu bolo uvážené v zmysle STN EN 1992-1-1.

Trieda betónu opory, základov:

C30/37, $f_{ck}=30\text{ MPa}$; $f_{cd}=17,0\text{ MPa}$; $f_{ctm}=2,9\text{ MPa}$; $E_{cm}=33\text{ GPa}$

2.2. Betonárská výstuž

Betonárská výstuž - bola použitá výstuž B500B, s charakteristickou medzou klzu $f_{yk}=500\text{ MPa}$; $f_{yd}=426\text{ MPa}$ (ULS).

2.3. Predpínacia výstuž

Nosníky budú predopnutedé predpínacími jednotkami z lán $\phi Ls 15,7\text{ mm}/1860\text{ MPa}$ s prierezovou plochou lana $1,5\text{ cm}^2$. Laná budú predpínané na hodnotu napäťia 1450 MPa . Charakteristiky predpínacej výstuže:

- Charakteristická pevnosť lana $f_{pk} = 1860 \text{ MPa}$
- Dohodnutá medza klzu pri 0,1 % trvalej deformácií: $f_{p0,1,k} = 1640 \text{ MPa}$
- Návrhová hodnota pevnosti výstuže $f_{pd} = f_{p0,1,k}/\gamma_s = 1640/1,15 = 1426 \text{ MPa}$
- Modul pružnosti predpínacej výstuže $E_p = 195 \text{ GPa}$
- Maximálne napätie pri predpínaní $\sigma_{p,max} = \min(0,8 \cdot f_{pk}; 0,9 \cdot f_{p0,1,k}) = 1476 \text{ MPa}$
- Uvažovaná hodnota $\sigma_{p,max} = 1450 \text{ MPa}$
- Maximálne napätie po vnesení predpätia $\sigma_{pm0} = \min(0,75 \cdot f_{pk}; 0,85 \cdot f_{p0,1,k}) = 1394 \text{ MPa}$
- Horná hodnota predpínacieho napäťia $\sigma_{pk,sup} = r_{sup} \sigma_{pm0}$
- Dolná hodnota predpínacieho napäťia $\sigma_{pk,inf} = r_{pk,inf} \sigma_{pm}(t)$, kde $\sigma_{pm}(t)$ je stredná hodnota predpínacieho napäťia v čase t po prebehnutí strát predpätia.
- Súčiniteľ trenia v zakrivenej časti kábla $\mu=0,18$, neproektované uhlové premiestnenie predpínacej výstuže na jednotkovú dĺžku $k=0,01 \text{ rad/m}$.
- Poklz v kotve bol uvažovaný hodnotou 5mm.
- Súčinitele pre predpätie $r_{p,sup}=1,1$ resp. $r_{p,inf}=0,9$ pre dodatočne predpäté káble a $r_{p,sup}=1,05$ resp. $r_{p,inf}=0,95$ pre vopred predpäté laná.

3. Zaťaženie

Zaťaženie konštrukcie bolo uvážené v zmysle platných noriem STN EN.

3.1. Zaťaženie – vlastná tiaž G_0

Vlastná tiaž betónových konštrukcií je uvažovaná s objemovou tiažou betónu: 25,0 kN/m³.

- Tiaž – priečny rez v poli $A_{c1} = 15 \cdot 0,2342\text{m}^2 + 3,02\text{m}^2$, $g_{0k,1} = 6,53 \cdot 25,0 = 163,3 \text{ kN/m}$
- Tiaž – priečnik $A_{c2} = 0,93\text{m}^2$, $g_{0k,1} 0,93 \cdot 25,0 = 23,25 \text{ kN/m}$

3.2. Zaťaženie – mostný zvršok G_1

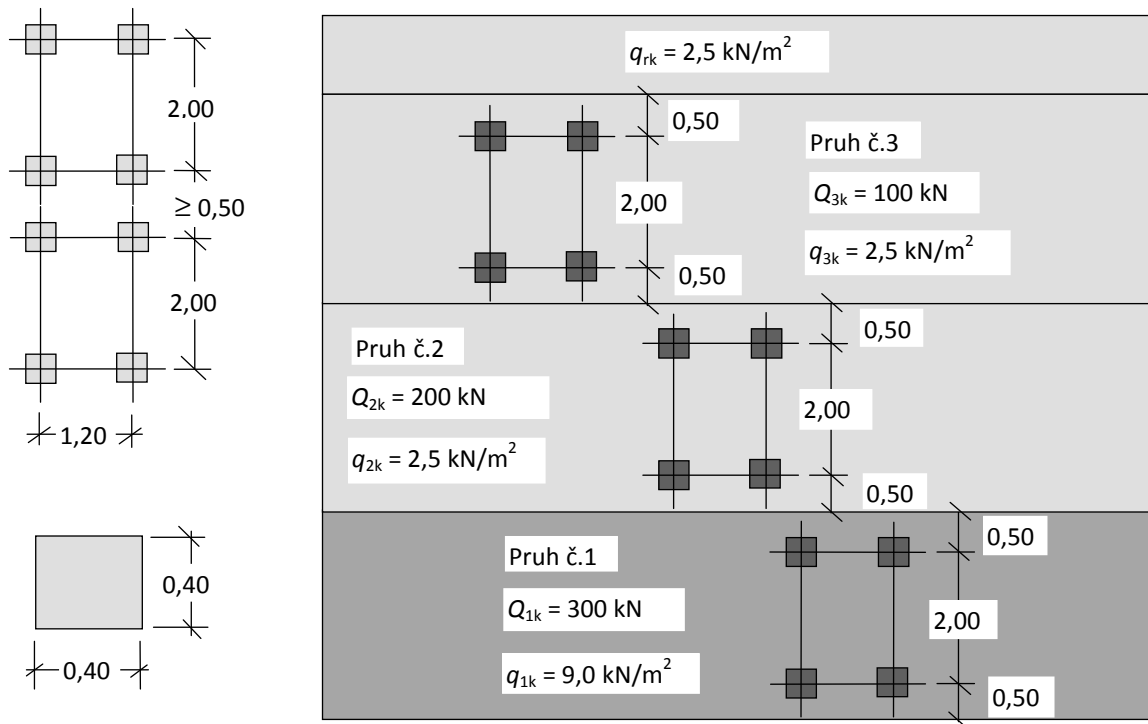
- Tiaž vozovky $g_{11k,\text{sup}} = 0,09 \cdot 1,4 \cdot 24,0 = 3,024 \text{ kN/m}^2$
- Tiaž vozovky $g_{11k,\text{infp}} = 0,09 \cdot 0,8 \cdot 24,0 = 1,728 \text{ kN/m}^2$
- Tiaž ľavej rímsy $g_{12k} = 6,25 \text{ kN/m}$
- Tiaž pravej rímsy $g_{13k} = 0,6 \text{ kN/m}$
- Tiaž zábradlia $g_{15k} = 1,0 \text{ kN/m}$

3.3. Premenné zaťaženie od dopravy Q – LM1

Hlavný zvislý zaťažovací systém mostov predstavuje zaťažovacia schéma 1 (LM1), ktorá sa používa pre celkové aj lokálne posúdenia (obr.3.1).

Táto schéma sa skladá z dvoch častí. Prvú časť tvorí dvojnápravové sústredené zaťaženie (TS), kde každá náprava ma tiaž $\alpha_Q \cdot Q_k$. Nápravu tvoria dve identické kolesá s roznášajúcou plochou 0,40 m x 0,40 m. Druhá časť zaťaženia pozostáva z rovnomenného plošného zaťaženia UDL s intenzitou $\alpha_Q \cdot q_k$ kde Q_k , a q_k sú charakteristické hodnoty zaťaženia v ktorých sú zahrnuté aj dynamickej účinky, pozri tab.3.1.

Pohyblivé zaťaženie umiestňujeme do myslených pásov max. šírky 3 m, pričom v rámci pásu sa môže pohybovať len jeden TS a jedno UDL.



Obr.3.1 Usporiadanie zaťaženia zaťažovacia schéma LM1

Intenzita zaťažení TS a UDL sa mení v závislosti od číselného označenia „i“ myšleného pásu a má veľkosť $\alpha_{Qi} Q_{ik}$, resp. $\alpha_{qi} q_{ik}$. Hodnoty Q_{ik} a q_{ik} sú uvedené v tab.3.1.

Hodnota redukčných súčiniteľov α_{Qi} a α_{qi} bola uvažovaná v zmysle Národnej prílohy SR STN EN 1991-2/NA, $\alpha_{Q1} = 0,9$ a $\alpha_{Q2} = 0,6$ a $\alpha_{Q3} = 0,6$ a $\alpha_{q1} = 0,6$ a $\alpha_{qi} = 1,0$ pre $i \geq 2$.

Umiestnenie	TS [kN]		UDL [kN/m ²]	
	Q_{ik}	$\alpha_{Qi} Q_{ik}$	q_{ik}	$\alpha_{qi} q_{ik}$
Zaťažovací pás č.1	300	270	9,0	5,4
Zaťažovací pás č.2	200	120	2,5	2,5
Zaťažovací pás č.3	100	60	2,5	2,5
Ostatne pásy	0	0	2,5	2,5
Zostatková plocha	0	0	2,5	2,5

Tab.3.1 – Základné hodnoty zaťažení

3.4. Premenné zaťaženie od dopravy Q – LM2

Zaťaženie sa používa na lokálne posúdenia. Model tvorí jednonápravové zaťaženie $\alpha_{Q1} Q_{ak}$, s tiažou $Q_{ak} = 400$ kN, ktoré zahŕňa aj dynamické účinky.

3.5. Premenné zaťaženie od dopravy Q – LM4

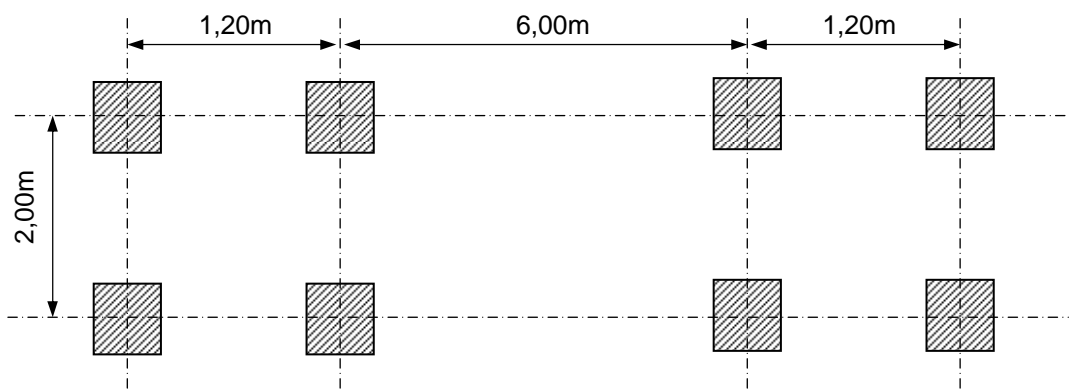
Účinky pohybu davu ľudí na vozovke a na chodníkoch sa modelujú zaťažovacou schémou 4 (LM4). Na vozovke sa uvažuje toto zaťaženie ako rovnomerné spojité s intenzitou $q_{fk} = 5 \text{ kN/m}^2$ pri rozpäti zaťažovaného poľa $L_{sj} \leq 10 \text{ m}$. Pri väčšom rozpäti môžeme uvažovať redukovanú hodnotu v tvare:

$$2,5 \text{ kN/m}^2 \leq q_{fk} = 2,0 + \frac{120}{L_{sj} + 30} \leq 5,0 \text{ kN/m}^2$$

Pokiaľ zaťaženie predpokladáme len na chodníkoch cestných mostov, pre všetky rozpäcia môžeme uvažovať jednu hodnotu $q_{fk} = 5 \text{ kN/m}^2$, alebo v kombinácii s pohyblivým zaťažením redukovanú hodnotu $q_{fk} = 3,0 \text{ kN/m}^2$.

3.6. Únavová zaťažovacia schéma 3 – FLM3

Schému tvoria dva dvojnápravové sústredené zaťaženia s tiažou každej nápravy 120 kN. Nápravy pozostávajú z dvoch identických kolies s kontaktnou plochou 0,4 m x 0,4 m (obr.3.3). Pri výpočte vnútorných síl bola kontaktná plocha zväčšená z dôvodu roznosu zaťaženia na 0,58 m x 0,58 m.



Obr.3.3 Únavová zaťažovacia schéma

3.7. Trenie v ložiskách

Predpokladaná hodnota trenia v ložiskách je 4% zo zvislej sily. Sily od trenia boli určené pre reakcie od všetkých stálych zaťažení plus príslušné zaťaženia od dopravy v častej hodnote.

3.8. Rozjazdové a brzdné sily

Dĺžka nosnej konštrukcie 12,0m.

$$\begin{aligned} Q_{lk} &= 0,6 \cdot \alpha_{Q1} \cdot 2 \cdot Q_{1k} + 0,1 \cdot \alpha_{q1} \cdot q_{1k} \cdot w_1 \cdot L = \\ &= 0,6 \cdot 0,9 \cdot 2 \cdot 300 + 0,1 \cdot 0,6 \cdot 9 \cdot 3 \cdot 12,0 = 343 \text{kN} \end{aligned}$$

3.9. Zaťaženie vetrom

Zaťaženie vetrom bolo uvážené na základe hodnoty základnej rýchlosťi vetra $v_{b0}=26\text{m}\cdot\text{s}^{-1}$.

Rozmery:

Vyska nosnej konstrukcie:	$d_{nk} := 0.6\text{m} + 0.43\text{m}$
Vyska - doprava:	$d_{voz} := 2.0\text{m}$
Sirka mosta	$b := 7.1\text{m}$
	$d_{tot} := d_{nk} + d_{voz} = 3.03 \text{ m}$
	$\frac{b}{d_{tot}} = 2.343$

Zatazenie vetrom:

Hustota vzduchu:	$\rho := 1.25\text{kg}\cdot\text{m}^{-3}$
Základna rychlosť vetra:	$v_{b0} := 26.0\text{m}\cdot\text{s}^{-1}$
Základna rychlosť vetra-most s dopravou:	$v_{b0,d} := 23.0\text{m}\cdot\text{s}^{-1}$

Sucinítel zatazenia vetrom:

$$\begin{aligned} \text{Kategória terenu III, } z=4\text{m} & \quad c_e := 1.3 \\ c_{fx0} := & \begin{cases} \frac{1.4}{(5-0.5)} \cdot \left(5 - \frac{b}{d_{tot}}\right) + 1 & \text{if } \frac{1.4}{(5-0.5)} \cdot \left(5 - \frac{b}{d_{tot}}\right) + 1 > 1.0 \\ 1.0 & \text{otherwise} \end{cases} = 1.827 \\ C := c_e \cdot c_{fx0} & = 2.375 \end{aligned}$$

$$\text{Zatazenie vetrom - most bez dopravy: } f_{wk} := 0.5 \cdot \rho \cdot v_{b0}^2 \cdot C \cdot (d_{nk} + 0.6\text{m}) = 1.635 \cdot \text{kN}\cdot\text{m}^{-1}$$

$$\text{Zatazenie vetrom - most s dopravou: } f_{wk,d} := 0.5 \cdot \rho \cdot v_{b0,d}^2 \cdot C \cdot (d_{tot}) = 2.379 \cdot \text{kN}\cdot\text{m}^{-1}$$

$$0.6 \cdot f_{wk,d} = 1.427 \cdot \text{kN}\cdot\text{m}^{-1}$$

3.10. Zaťaženie opôr zemným tlakom

Za oporami bol uvažovaný zemný tlak nasledovne:

Uvazovany zasypovy material:

$$\begin{aligned} \gamma_{k,soil} & := 20\text{kN}\cdot\text{m}^{-3} \\ \alpha_k & := 33\text{deg} \\ \gamma_\square & := 1.25 \\ \alpha_d & := \text{atan}\left(\frac{\tan(\alpha_k)}{\gamma_\square}\right) = 27.453\text{-deg} \end{aligned}$$

Súčinitele zemných tlakov:

$$K_0 := 1 - \sin(\alpha_d) = 0.539$$

$$K_a := \left(\tan\left(45\text{deg} - \frac{\alpha_d}{2}\right) \right)^2 = 0.369 \quad K_{a,zv} := 0.5 \cdot K_a + 0.5 \cdot K_0 = 0.454$$

$$K_p := \left(\tan\left(45\text{deg} + \frac{\alpha_d}{2}\right) \right)^2 = 2.711$$

Pritazenie od dopravy za oporu:

$$L_{prech,d} := 3.0\text{m} \quad B_{prech,d} := 5.6\text{m}$$

$$q_{k,udl} := \frac{5.4\text{kN}\cdot\text{m}^{-2} \cdot 3\text{m} + 2.5\text{kN}\cdot\text{m}^{-2} \cdot (5.6\text{m} - 3\text{m})}{5.6\text{m}} = 4.054 \cdot \text{kN}\cdot\text{m}^{-2}$$

$$q_{k,TS} := \frac{540\text{kN} + 120\text{kN}}{L_{prech,d} \cdot B_{prech,d}} = 39.286 \cdot \text{kN}\cdot\text{m}^{-2}$$

$$h_{eq} := \frac{(q_{k,udl} + q_{k,TS}) \cdot 1.35}{\gamma_{k,soil}} = 2.925 \text{ m}$$

3.11. Montážne zaťaženie počas výstavby

Charakteristická hodnota uvažovaného montážneho zaťaženia $q_{k,con}=1,0\text{kN}\cdot\text{m}^{-2}$.

4. Kombinácie zaťažení

Kombinácie zaťažení boli definované v zmysle normy [1], príloha A2.

4.1. Návrhové kombinácie zaťažení MSU

Pre medzné stavy únosnosti (MSU) týkajúce sa mechanickej odolnosti z hľadiska jednorazového porušenia sú definované nasledovné parciálne súčinitele spoľahlivosti γ pre cestné mosty.

Stále zaťaženia G: $\gamma_G = 1,35$

Zaťaženia od dopravy Q: $\gamma_Q = 1,35$

Nerovnomerný pokles SET: $\gamma_{G,SET} = 1,2$

Teplotné zaťaženie sa dovoľuje pri MSU neuvažovať

Návrhová hodnota účinku zaťaženia:

$$E_d = \gamma_G(E_{g0k} + E_{g1,k}) + 1,20 \cdot E_{g,sett} + \gamma_P \cdot E_p(t) + \gamma_Q(E_{TS,k} + E_{udl,k} + E_{ch,k})$$

$$E_d = \gamma_G(E_{g0k} + E_{g1,k}) + 1,20 \cdot E_{g,sett} + \gamma_P \cdot E_p(t) + \gamma_Q(E_{LM3,k} + E_{ch,k})$$

kde: E_{g0k} je účinok vlastnej tiaže (napr. ohybový moment, šmyková sila)

$E_{g1,k}$ - účinok tiaže zvršku

$E_{g,sett}$ - účinok nerovnomerného sadnutia podpier

E_p – účinok predpäťia ($\gamma_p=1,0(1,2)$)

$E_{TS,k}$ - účinok pohyblivého dvojnápravového zaťaženia

$E_{UDL,k}$ - účinok pohyblivého rovnomerného zaťaženia

$E_{LM3,k}$ - účinok pohyblivého zaťaženia – LM3

4.2. Kombinácie zaťažení pre MSP

Pre medzné stavy používateľnosti (SLS) definujeme nasledovné kombinácie zaťažení:

Štádium predpínania:

Charakteristická kombinácia:

$$E_k = E_{g0,k} + E_{Pk} + E_{q,con} + E_{T,k}$$

Častá kombinácia:

$$E_{frq} = E_{g0,k} + E_{Pk} + E_{q,con} + \psi_{0t} \cdot E_{T,k}$$

Štádium užívania:

Charakteristická kombinácia:

$$E_k = E_{g0,k} + E_{g1,k} + E_{g,sett} + E_{Pk} + E_{TS,k} + E_{UDL,k} + \psi_{0t} \cdot E_{T,k}$$

Častá kombinácia:

$$E_{frq} = E_{g0k} + E_{g1,k} + E_{g,sett} + E_{Pk} + 0,75 \cdot E_{TS,k} + 0,40 \cdot E_{UDL,k} + \psi_{1t} \cdot E_{T,k}$$

Kvázi - stála kombinácia:

$$E_{gp} = E_{g0N,k} + E_{g1,k} + E_{g,sett} + E_{Pk} + \psi_{2t} \cdot E_{T,k}$$

kde: E_{Pk} - charakteristická hodnota účinku predpäťia zohľadňujúca súčinitele

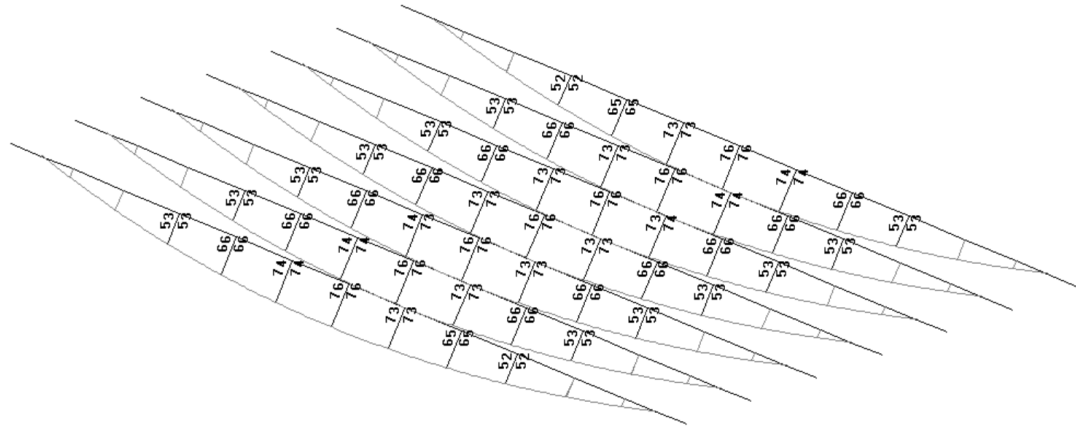
$r_{pk,sup}=1,1$ resp. $r_{pk,inf}=0,9$ (dodatočne predpäté káble).

5. Nosná konštrukcia

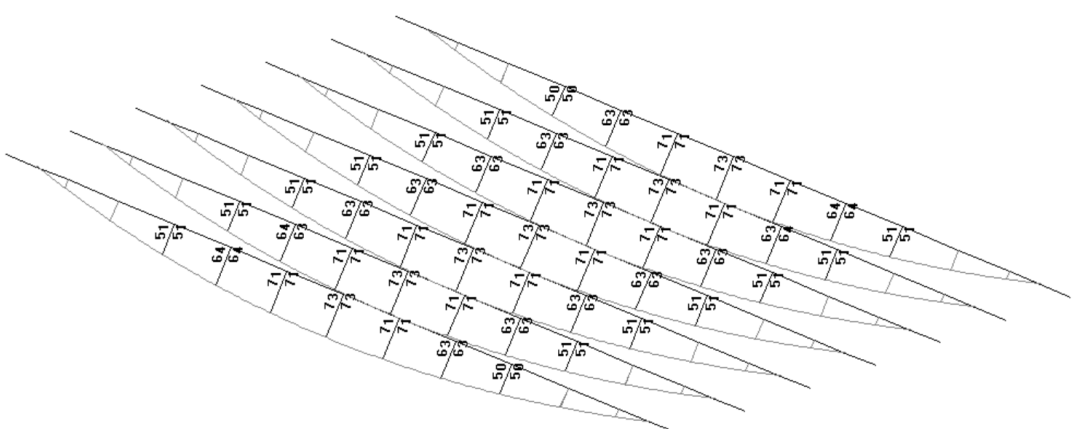
5.1. Vnútorné sily – pozdĺžny smer

Vnútorné sily vyvolané zaťaženiami (charakteristické hodnoty prislúchajúce každému nosníku) sú znázornené v nasledovných grafoch:

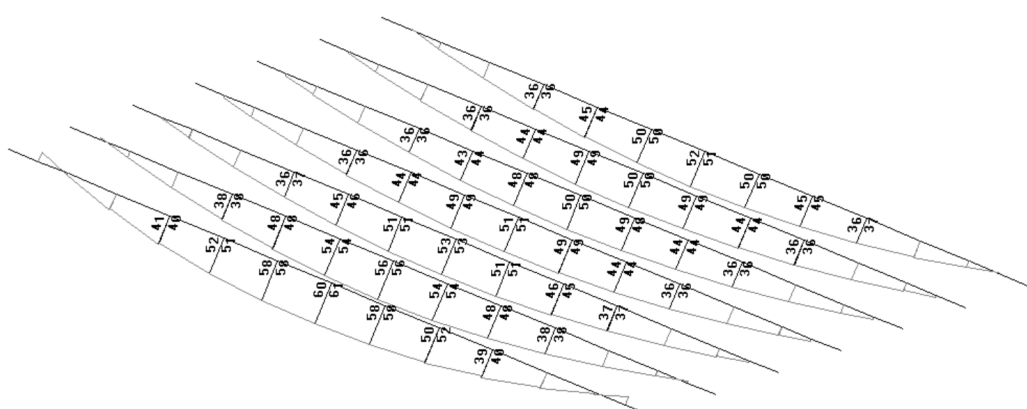
- Vlastná tiaž nosníkov G0k – ohybový moment M2 [kNm]



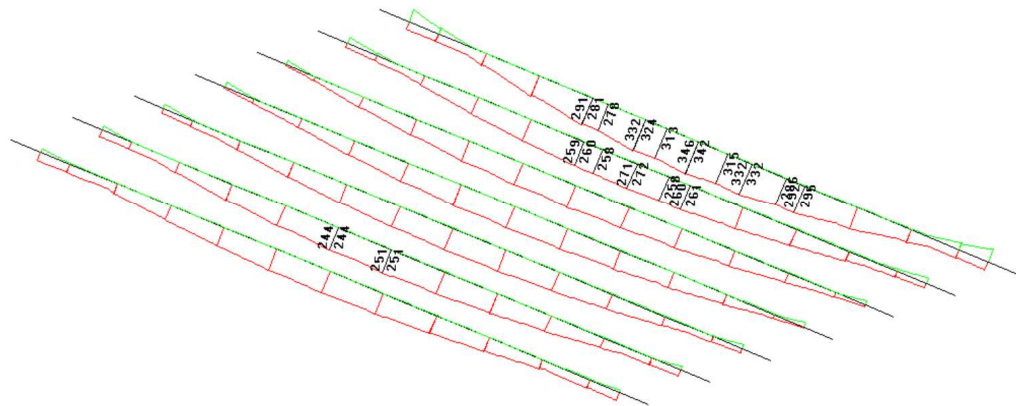
- Vlastná tiaž spriahajúcej dosky G0k – ohybový moment M2 [kNm]



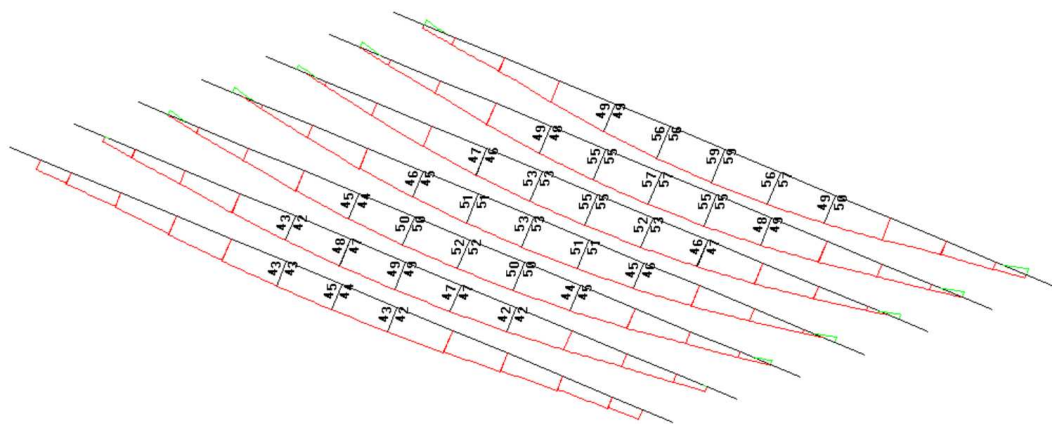
- Vlastná tiaž mostného zvršku G1k – ohybový moment M2 [kNm]



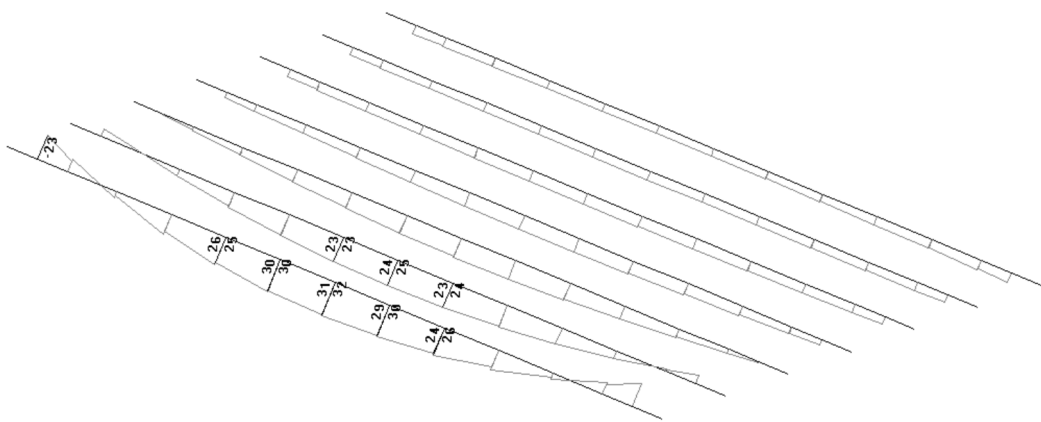
- Obálka TS – ohybový moment M2 [kNm]



- Obálka UDL – ohybový moment M2 [kNm]



- Chodci – ohybový moment M2 [kNm]



Porovnanie katalógových dimenzačných veličín pre najviac namáhaný nosník:

$$M_{Ek,DPS-katalog} = M_{Eg0,k} + M_{Eg1,k} + M_{E,TS,k} + M_{EUDL,k} = (89+74)+58+520=741\text{kNm}$$

$$M_{Ek,most} = M_{Eg0,k} + M_{Eg1,k} + M_{E,TS,k} + M_{EUDL,k} = (76+73)+52+342+59=602\text{kNm}$$

$M_{Ek,DPS-katalog} > M_{Ek,most}$ vyhovuje – je možné použiť katalógové nosníky

$$M_{Efrq,DPS-katalog} = M_{Eg0k} + M_{Eg1,k} + 0,75 \cdot M_{ETS,k} + 0,40 \cdot M_{EUDL,k} = (89+74)+58+353=574\text{kNm}$$

$$M_{Efrq,most} = M_{Eg0k} + M_{Eg1,k} + 0,75 \cdot M_{ETS,k} + 0,40 \cdot M_{EUDL,k} = (76+73)+52+0,75 \cdot 342+0,4 \cdot 59=481\text{kNm}$$

$M_{Efrq,DPS-katalog} > M_{Efrq,most}$ vyhovuje – je možné použiť katalógové nosníky

5.2. Medzný stav únosnosti MSU – priečny smer

5.2.1. Medzný stav únosnosti MSU – priečny smer – doska

Vzhľadom na zachovanie osových rozostupov nosníkov podľa katalógového podkladu nosníkov a šikmosť mosta v intenciách katalógu je možné použiť katalógový podklad pre vykreslenie betonárskej výstuže spriahajúcej dosky a priečnikov – bez návrhu betonárskej výstuže.

6. Príslušenstvo

6.1. Návrh ložísk

6.1.1. Návrh ložísk – únosnosť (prevádzkové zatiaženia)

Prehľad maximálnych reakcií a pohybov:

LOŽISKA	CHARAKTERISTICKÉ KOMBINÁCIE [MN]				NÁVRHOVÉ KOMBINÁCIE [MN]			
	±Fx	±Fy	Fz,max	Fz,min	±Fx	±Fy	Fz,max	Fz,min
É ELASTOMÉROVÉ OZDĽŽNE PEVNÉ	50.0	0.0	390.0	45.0	67.5	0.0	526.5	60.8
É ELASTOMÉROVÉ OZDĽŽNE PEVNÉ	50.0	0.0	390.0	45.0	67.5	0.0	526.5	60.8
OMÉROVÉ LOŽISKO	50.0	6.0	390.0	45.0	67.5	8.1	526.5	60.8
OMÉROVÉ LOŽISKO	50.0	6.0	390.0	45.0	67.5	8.1	526.5	60.8
OMÉROVÉ LOŽISKO	50.0	6.0	390.0	45.0	67.5	8.1	526.5	60.8
É ELASTOMÉROVÉ OZDĽŽNE PEVNÉ	50.0	0.0	390.0	45.0	67.5	0.0	526.5	60.8
É ELASTOMÉROVÉ OZDĽŽNE PEVNÉ	50.0	0.0	390.0	45.0	67.5	0.0	526.5	60.8
ELASTOMÉROVÉ LOŽISKO	0.0	0.0	390.0	45.0	0.0	0.0	526.5	60.8
ELASTOMÉROVÉ LOŽISKO	0.0	0.0	390.0	45.0	0.0	0.0	526.5	60.8
É ELASTOMÉROVÉ PRIEČNE PEVNÉ	0.0	6.0	390.0	45.0	0.0	8.1	526.5	60.8
É ELASTOMÉROVÉ PRIEČNE PEVNÉ	0.0	6.0	390.0	45.0	0.0	8.1	526.5	60.8
É ELASTOMÉROVÉ PRIEČNE PEVNÉ	0.0	6.0	390.0	45.0	0.0	8.1	526.5	60.8
ELASTOMÉROVÉ LOŽISKO	0.0	0.0	390.0	45.0	0.0	0.0	526.5	60.8
ELASTOMÉROVÉ LOŽISKO	0.0	0.0	390.0	45.0	0.0	0.0	526.5	60.8

6.1.2. Návrh mostných záverov - pohyby

Vzdialenosť od teplotnej osi

$$L_{pev} := 12\text{m}$$

Pomerne pretvorenie a skratenie - dotvarovanie

$$\Delta \varepsilon_{cr.LOZ} := -\varepsilon_{celk28} \cdot \Delta \square_{nLOZ} \cdot 1.35 = -3.866 \times 10^{-4}$$

$$u_{cr.Loz} := L_{pev} \cdot \Delta \varepsilon_{cr.LOZ} = -4.639 \cdot \text{mm}$$

Pomerne pretvorenie a skratenie - zmrastovanie

$$\Delta \varepsilon_{csLOZ} = -2.727 \times 10^{-4}$$

$$u_{cs.Loz} := L_{pev} \cdot 1.6 \cdot \Delta \varepsilon_{csLOZ} = -5.236 \cdot \text{mm}$$

Skratenie - teplota

$$\Delta T_{Ncon} = 27 \cdot \text{deg} \quad T_{rezerva} = 20 \cdot \text{deg}$$

$$u_{Tcon.Loz} := -1 \cdot (\Delta T_{Ncon} + T_{rezerva}) \cdot \alpha \cdot L_{pev} \quad u_{Tcon.Loz} = -5.64 \cdot \text{mm}$$

Predĺženie - teplota

$$\Delta T_{Nexp} = 32 \cdot \text{deg} \quad T_{rezerva} = 20 \cdot \text{deg}$$

$$u_{Texp.Loz} := (\Delta T_{Nexp} + T_{rezerva}) \cdot \alpha \cdot L_{pev} \quad u_{Texp.Loz} = 6.24 \cdot \text{mm}$$

Rezerva - brzdne sily

$$u_{BR} := 5 \cdot \text{mm}$$

Celkovy pohyb

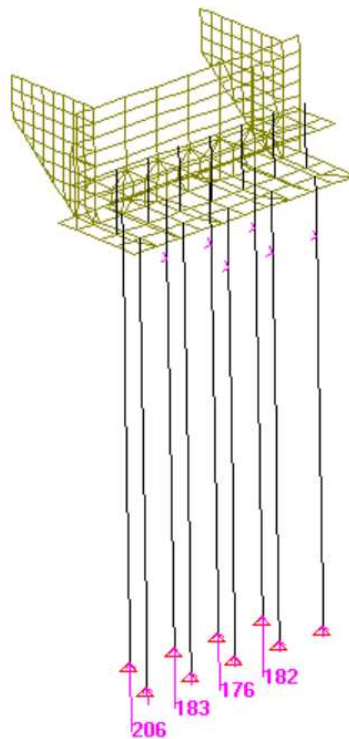
$$u_{con.Loz} := u_{cr.Loz} + u_{cs.Loz} + u_{Tcon.Loz} + u_{BR} \cdot (-1.35) = -22.265 \cdot \text{mm}$$

$$u_{exp.Loz} := u_{Texp.Loz} + u_{BR} \cdot (1.35) = 12.99 \cdot \text{mm}$$

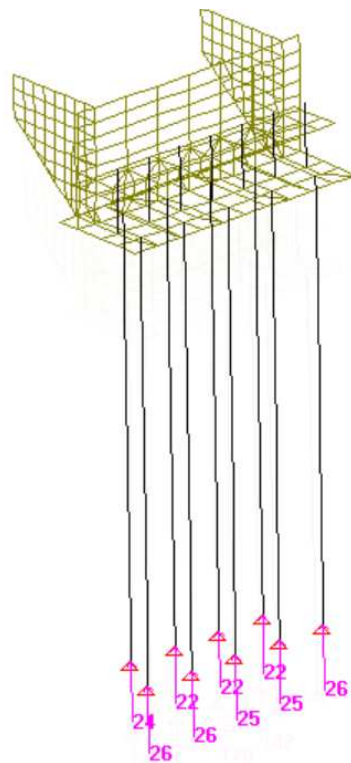
7. Spodná stavba

7.1.1. Prehľad reakcií v pilótach

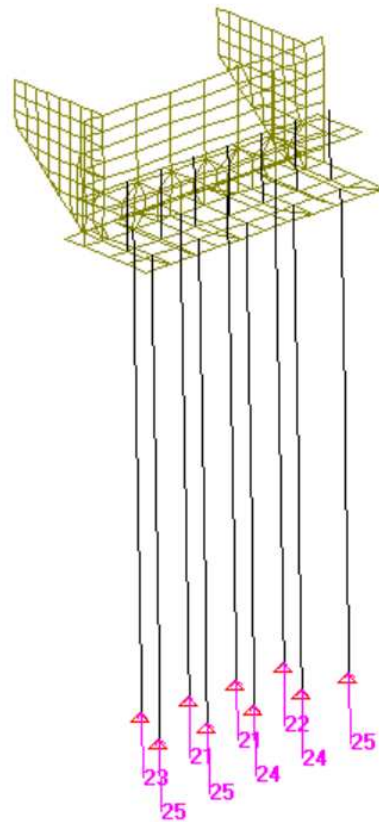
- G0k- vlastná tiaž opory [kN]



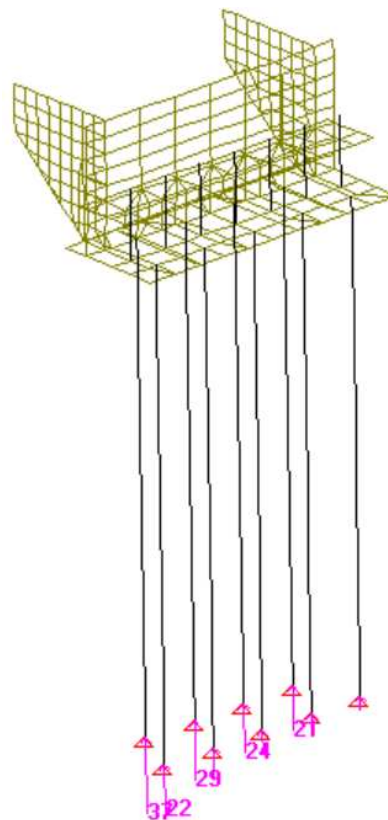
- G0k- vlastná tiaž nosníkov [kN]



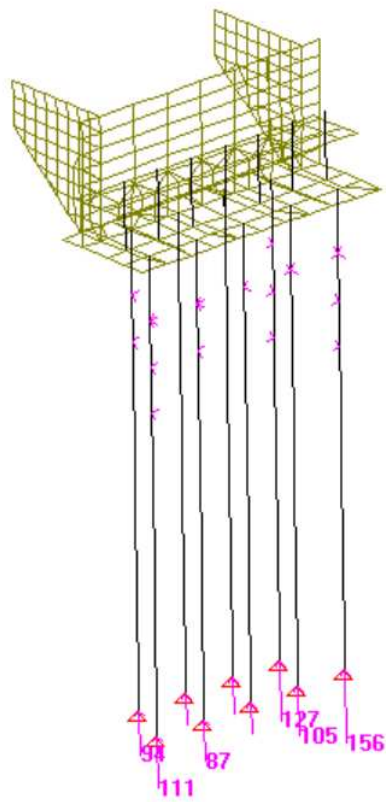
- G0k- vlastná tiaž spriahajúcej dosky + priečnikov [kN]



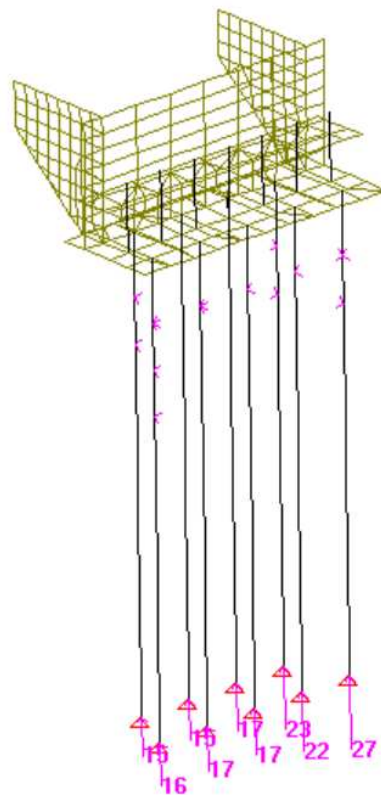
- G1k- tiaž mostného zvršku [kN]



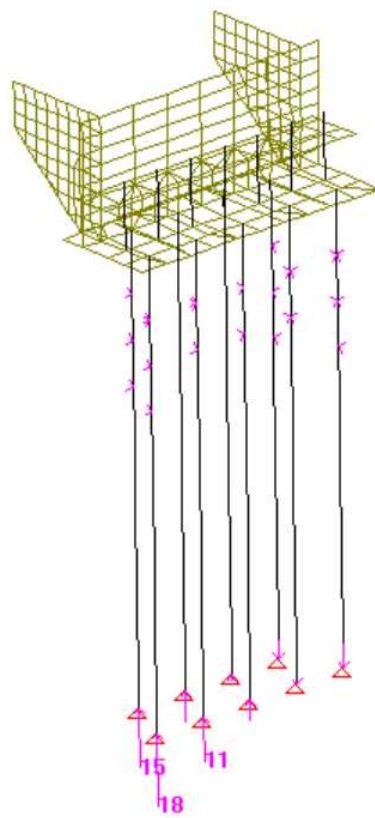
- TSk-dvojnápravové vozidlá [kN]



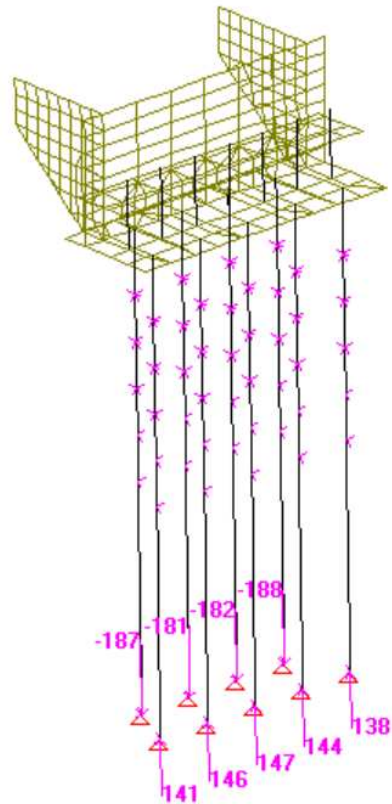
- UDLk-plošné zaťaženie [kN]



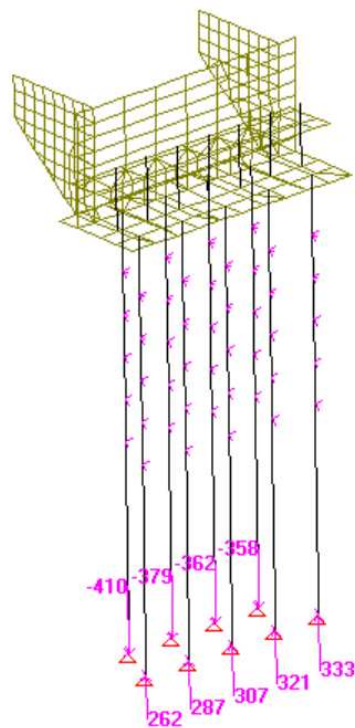
- CHk-zaťaženie od chodcov [kN]



- BRk-brzne a rozjazdové sily [kN]



- Tk- zvýšený zemný tlak za oporou [kN]



- Návrhová kombinácia – vozidlá na moste [kN]
 $N_{Ed,max} = 635\text{kN}$; $N_{Ed,min} = 129\text{kN}$
- Návrhová kombinácia – vozidlá za mostom [kN]
 $N_{Ed,max} = 480\text{kN}$; $N_{Ed,min} = -70\text{kN}$

7.1.2. Návrh pilót

Posouzení piloty

Vstupní data

Projekt

Datum : 7.8.2015

Nastavení

Standardní - EN 1997 - DA2

Materiály a normy

Betonové konstrukce : EN 1992-1-1 (EC2)

Součinitele EN 1992-1-1 : standardní

Piloty

Výpočet pro odvodnené podmínky : NAVFAC DM 7.2

Zatěžovací křivka : lineární (Poulos)

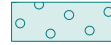
Vodorovná únosnost : pružný poloprostor

Metodika posouzení : výpočet podle EN1997

Návrhový přístup : 2 - redukce zatížení a odporu

Součinitele redukce zatížení (F)			
Trvalá návrhová situace			
Stálé zatížení :	$\gamma_G =$	1,35 [-]	Příznivé 1,00 [-]
Součinitele redukce odporu (R)			
Trvalá návrhová situace			
Součinitel redukce odporu na plášti :	$\gamma_s =$	1,10 [-]	
Součinitel redukce odporu na patě :	$\gamma_b =$	1,10 [-]	
Součinitel redukce únosnosti tažené piloty :	$\gamma_{st} =$	1,15 [-]	

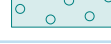
Základní parametry zemin

Číslo	Název	Vzorek	γ [kN/m ³]	v [-]
1	Navazka		20,50	0,42
2	Třída G3, středně ulehlá		19,00	0,25
3	Třída S3, středně ulehlá		17,50	0,30
4	Třída G3, středně ulehlá-dol		19,00	0,25
5	Třída G2, středně ulehlá		23,00	0,20

Pro výpočet tlaku v klidu jsou všechny zeminy zadány jako nesoudržné.

Číslo	Název	Vzorek	E_{oed} [MPa]	E_{def} [MPa]	γ_{sat} [kN/m ³]	γ_s [kN/m ³]	n [-]
1	Navazka		4,00	-	22,00	-	-
2	Třída G3, středně ulehlá		-	80,00	22,00	-	-

3	Třída S3, středně ulehlá		-	14,00	22,00	-	-
4	Třída G3, středně ulehlá-dol		-	80,00	22,00	-	-
5	Třída G2, středně ulehlá		-	140,00	24,00	-	-

Číslo	Název	Vzorek	Φ_{ef} [°]	δ [°]	K [-]	c_u [kPa]	α [-]
1	Navazka		15,00	-	-	-	-
2	Třída G3, středně ulehlá		30,00	-	-	-	-
3	Třída S3, středně ulehlá		29,00	-	-	-	-
4	Třída G3, středně ulehlá-dol		30,00	-	-	-	-
5	Třída G2, středně ulehlá		35,50	-	-	-	-

Parametry zemin pro výpočet modulu reakce podloží

Číslo	Název	Vzorek	β
1	Navazka		10,00
2	Třída G3, středně ulehlá		10,00
3	Třída S3, středně ulehlá		10,00
4	Třída G3, středně ulehlá-dol		10,00
5	Třída G2, středně ulehlá		10,00

Parametry zemin**Navazka**

Objemová tíha : $\gamma = 20,50 \text{ kN/m}^3$
 Poissonovo číslo : $\nu = 0,42$
 Edometrický modul : $E_{\text{oed}} = 4,00 \text{ MPa}$
 Obj.tíha sat.zeminy : $\gamma_{\text{sat}} = 22,00 \text{ kN/m}^3$
 Úhel roznášení : $\beta = 10,00^\circ$
 Úhel vnitřního tření : $\phi_{\text{ef}} = 15,00^\circ$

Třída G3, středně ulehlá

Objemová tíha : $\gamma = 19,00 \text{ kN/m}^3$
 Poissonovo číslo : $\nu = 0,25$
 Modul přetvárnosti : $E_{\text{def}} = 80,00 \text{ MPa}$
 Obj.tíha sat.zeminy : $\gamma_{\text{sat}} = 22,00 \text{ kN/m}^3$
 Úhel roznášení : $\beta = 10,00^\circ$
 Úhel vnitřního tření : $\phi_{\text{ef}} = 30,00^\circ$

Třída S3, středně ulehlá

Objemová tíha : $\gamma = 17,50 \text{ kN/m}^3$
 Poissonovo číslo : $\nu = 0,30$
 Modul přetvárnosti : $E_{\text{def}} = 14,00 \text{ MPa}$
 Obj.tíha sat.zeminy : $\gamma_{\text{sat}} = 22,00 \text{ kN/m}^3$
 Úhel roznášení : $\beta = 10,00^\circ$
 Úhel vnitřního tření : $\phi_{\text{ef}} = 29,00^\circ$

Třída G3, středně ulehlá-dol

Objemová tíha : $\gamma = 19,00 \text{ kN/m}^3$
 Poissonovo číslo : $\nu = 0,25$
 Modul přetvárnosti : $E_{\text{def}} = 80,00 \text{ MPa}$
 Obj.tíha sat.zeminy : $\gamma_{\text{sat}} = 22,00 \text{ kN/m}^3$
 Úhel roznášení : $\beta = 10,00^\circ$
 Úhel vnitřního tření : $\phi_{\text{ef}} = 30,00^\circ$

Třída G2, středně ulehlá

Objemová tíha : $\gamma = 23,00 \text{ kN/m}^3$
 Poissonovo číslo : $\nu = 0,20$
 Modul přetvárnosti : $E_{\text{def}} = 140,00 \text{ MPa}$
 Obj.tíha sat.zeminy : $\gamma_{\text{sat}} = 24,00 \text{ kN/m}^3$
 Úhel roznášení : $\beta = 10,00^\circ$
 Úhel vnitřního tření : $\phi_{\text{ef}} = 35,50^\circ$

Geometrie

Profil piloty: kruhová

RozměryPrůměr $d = 0,60 \text{ m}$ Délka $l = 10,00 \text{ m}$ **Umístění**Vysazení $h = 1,00 \text{ m}$ Hloubka upraveného terénu $h_z = 2,25 \text{ m}$

Typ technologie: Vrtané piloty

Modul reakce podloží uvažován jako konstantní.

Materiál konstrukceObjemová třída $\gamma = 25,00 \text{ kN/m}^3$

Výpočet betonových konstrukcí proveden podle normy EN 1992-1-1 (EC2).

Beton : C 25/30

Válcová pevnost v tlaku

$f_{ck} = 25,00 \text{ MPa}$

Pevnost v tahu

$f_{ctm} = 2,60 \text{ MPa}$

Modul pružnosti

$E_{cm} = 31000,00 \text{ MPa}$

Modul pružnosti ve smyku

$G = 12917,00 \text{ MPa}$

Ocel podélná : B500

Mez kluzu $f_{yk} = 500,00 \text{ MPa}$ **Geologický profil a přiřazení zemin**

Číslo	Vrstva [m]	Přiřazená zemina	Vzorek
1	0,30	Navazka	
2	0,80	Třída G3, středně ulehlá	
3	0,50	Třída S3, středně ulehlá	
4	5,70	Třída G3, středně ulehlá-dol	
5	-	Třída G2, středně ulehlá	

Zatížení

Číslo	Zatížení nové změna	Název	Typ	N [kN]	M _x [kNm]	M _y [kNm]	H _x [kN]	H _y [kN]
1	ANO	Ed1	Návrhové	635,00	0,00	0,00	55,00	0,00
2	ANO	Ed2	Návrhové	480,00	0,00	0,00	96,00	0,00
3	ANO	Edmin	Návrhové	-70,00	0,00	0,00	96,00	0,00
4	ANO	Ek	Užitné	470,00	0,00	0,00	38,00	0,00

Hladina podzemní vody

Hladina podzemní vody je v hloubce 4,20 m od původního terénu.

Celkové nastavení výpočtu

Výpočet svislé únosnosti : analytické řešení

Typ výpočtu : výpočet pro odvodněné podmínky

Nastavení výpočtu fáze

Návrhová situace : trvalá

Metodika posouzení : bez redukce vstupních dat

Posouzení čís. 1

Posouzení svislé únosnosti piloty, metoda NAVFAC DM 7.2 - mezivýsledky

Výpočet únosnosti v patě:

Zemina pod patou piloty je nesoudržná

$$\text{Součinitel únosnosti } N_q = 27,50$$

$$\text{Plocha příčného řezu piloty } A_p = 2,83E-01 \text{ m}^2$$

Únosnost na plášti piloty:

Hloubka [m]	Mocnost [m]	c_{ud} [kPa]	α [-]	k_{dc} [-]	δ [°]	σ_{or} [kPa]	R_{si} [kN]
0,60	0,60	-	-	1,28	22,50	5,70	3,10
1,95	1,35	-	-	1,28	22,50	11,40	13,96
5,05	3,10	-	-	1,28	22,50	11,40	32,05
9,00	3,95	-	-	1,48	26,62	11,40	57,44

Únosnost tažené piloty:

Hloubka [m]	Mocnost [m]	c_{ud} [kPa]	α [-]	k_{dc} [-]	δ [°]	σ_{or} [kPa]	R_{si} [kN]
0,60	0,60	-	-	1,28	22,50	5,70	3,41
1,95	1,35	-	-	1,28	22,50	11,40	15,35
5,05	3,10	-	-	1,28	22,50	11,40	35,26
9,00	3,95	-	-	1,48	26,62	11,40	63,18

Posouzení svislé únosnosti : NAVFAC DM 7.2

Výpočet proveden s automatickým výběrem nejnepříznivějších zatěžovacích stavů.

Součinitel výpočtu kritické hloubky $k_{dc} = 1,00$

Posouzení tlačené piloty:

Nejnepříznivější zatěžovací stav číslo 1. (Ed1)

Únosnost piloty na plášti $R_s = 106,55 \text{ kN}$

Únosnost piloty v patě $R_b = 915,73 \text{ kN}$

Únosnost piloty $R_c = 1022,28 \text{ kN}$

Extrémní svislá síla $V_d = 635,00 \text{ kN}$

$$R_c = 1022,28 \text{ kN} > 635,00 \text{ kN} = V_d$$

Únosnost tlačené piloty VYHOVUJE

Posouzení tažené piloty:

Nejnepříznivější zatěžovací stav číslo 3. (Edmin)

Únosnost tažené piloty $R_{std} = 101,92 \text{ kN}$

Vlastní hmotnost piloty $w_p = 57,11 \text{ kN}$

Extrémní tahová síla $V_d = 12,89 \text{ kN}$

$$R_c = 101,92 \text{ kN} > 12,89 \text{ kN} = V_d$$

Únosnost tažené piloty VYHOVUJE

Svislá únosnost piloty VYHOVUJE

Posouzení čís. 1

Výpočet zatěžovací křivky piloty - vstupní data

Vrstv a číslo	E_s [MPa]
1	20,00
2	50,00

Limitní sedání piloty $s_{lim} = 25,0 \text{ mm}$

Výpočet zatěžovací křivky piloty - mezinásledky

Opravný součinitel tuhosti piloty $C_k = 0,93$

Opravný součinitel Poissonova čísla $C_v = 0,78$

Opravný součinitel tuhosti zeminy $C_b = 1,99$

Součinitel přenosu zat. nestl. piloty $\beta_0 = 0,09$

Součinitel přenosu zatížení do paty $\beta = 0,12$

Přičinkové součinitele sedání :

Základní - závislý na poměru l/d $I_0 = 0,10$

Součinitel vlivu tuhosti piloty $R_k = 1,13$

Součinitel vlivu nestlačitelné vrstvy $R_h = 1,00$

Korekční součinitel Poissonova čísla $R_v = 0,88$

Výpočet zatěžovací křivky piloty - výsledky

Zatížení na mezi mobilizace plášť.ření $R_{yu} = 133,56 \text{ kN}$

Velikost sedání odpovídající síle R_{yu} $s_y = 0,7 \text{ mm}$

Celková únosnost $R_c = 682,04 \text{ kN}$

Maximální sednutí $s_{lim} = 25,0 \text{ mm}$

Pro maximální užitné svislé zatížení $V = 470,00 \text{ kN}$ je sednutí piloty 15,6mm.

Posouzení čís. 1

Vstupní data pro výpočet vodorovné únosnosti piloty

Výpočet proveden s automatickým výběrem nejnepříznivějších zatěžovacích stavů.

Vodorovná únosnost posouzena ve směru maximálního účinku zatížení.

Maximální vnitřní síly a deformace:

Max.deformace piloty = 3,7 mm

Max.posouvající síla = 96,00 kN

Maximální moment = 125,38 kNm

Dimenze výztuže:

Výztužení - 10 ks profil 16,0 mm; krytí 80,0 mm

Typ konstrukce (stupně výztužení) : pilota

Stupeň výztužení $\rho = 0,711 \% > 0,500 \% = \rho_{min}$

Zatížení : $N_{Ed} = 70,00 \text{ kN}$ (tah) ; $M_{Ed} = 125,38 \text{ kNm}$

Únosnost : $N_{Rd} = 97,91 \text{ kN}$; $M_{Rd} = 175,37 \text{ kNm}$

Navržená výztuž piloty VYHOVUJE

Dimenze smykové výztuže:

Smyková výztuž - profil 10,0 mm; vzdálenost 200,0 mm

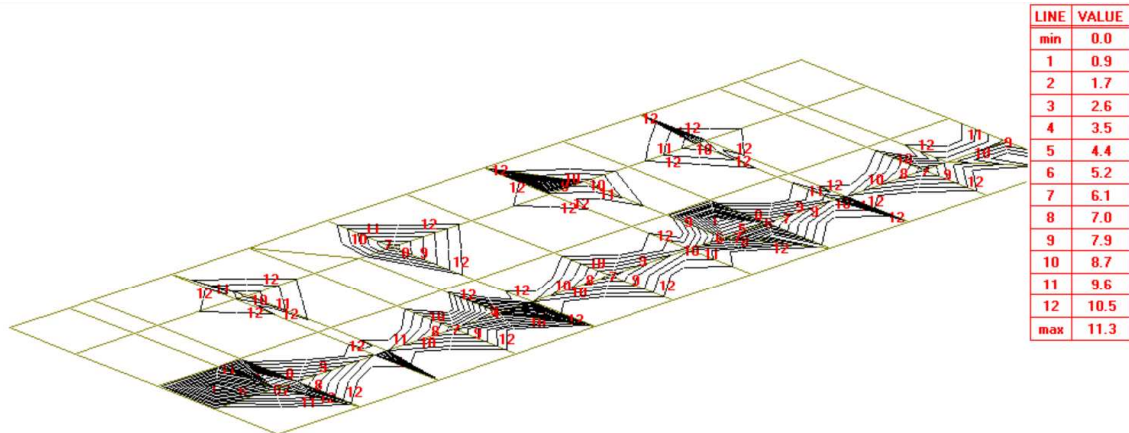
Posouvající síla na mezi únosnosti: $V_{Rd} = 104,12 \text{ kN} > 96,00 \text{ kN} = V_{Ed}$

Průřez VYHOVUJE.

pouze konstrukční smyková výztuž

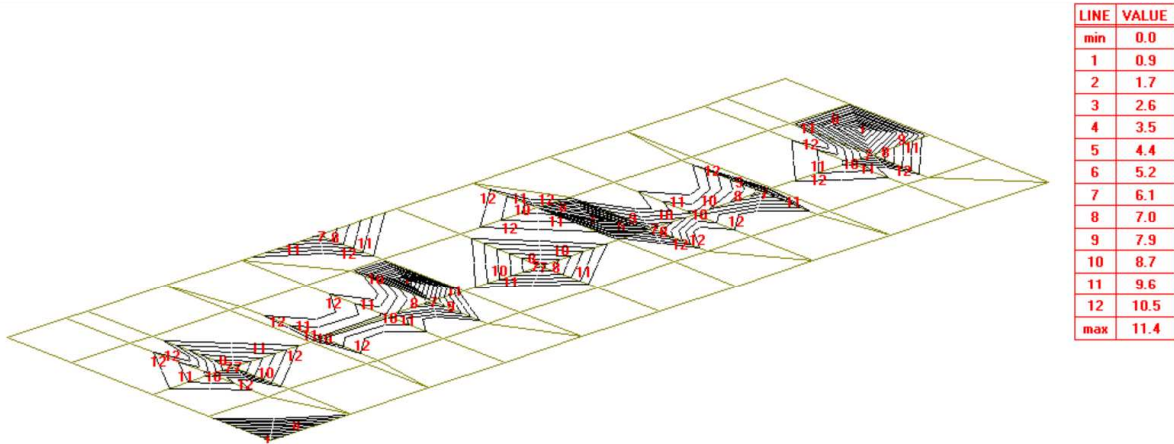
7.1.3. Návrh betonárskej výstuže opory

- Nutná plocha betonárskej výstuže – základová doska – pozdĺžny smer – spodná výstuž $-A_{sx}(\text{cm}^2)$



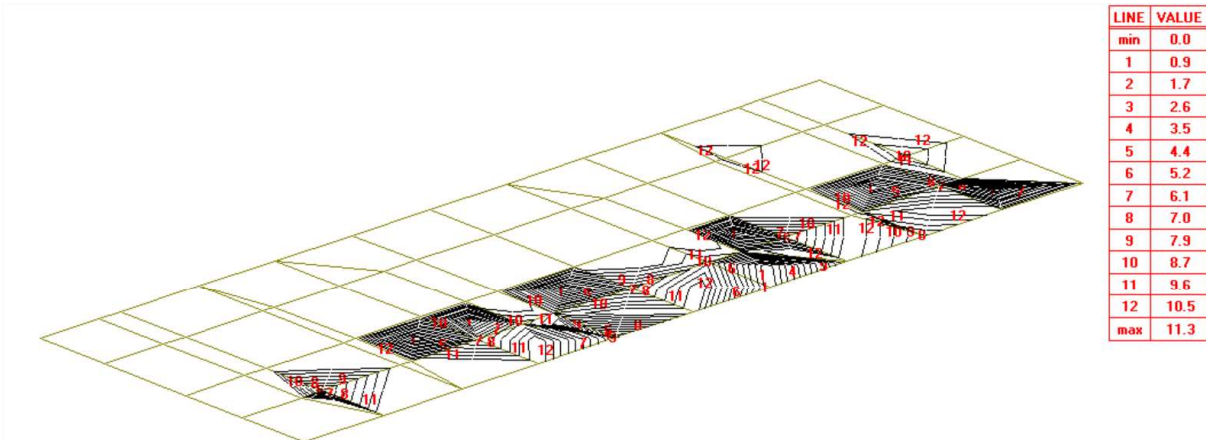
Concrete: 30 Steel: 490 Cover: 6. [Wood&Armer] (As in cm^2/meter)
-AsX CONTOUR LINES COMBINATIONS ENVELOPE

- Nutná plocha betonárskej výstuže – základová doska – pozdĺžny smer – horná výstuž $+A_{sx}(\text{cm}^2)$



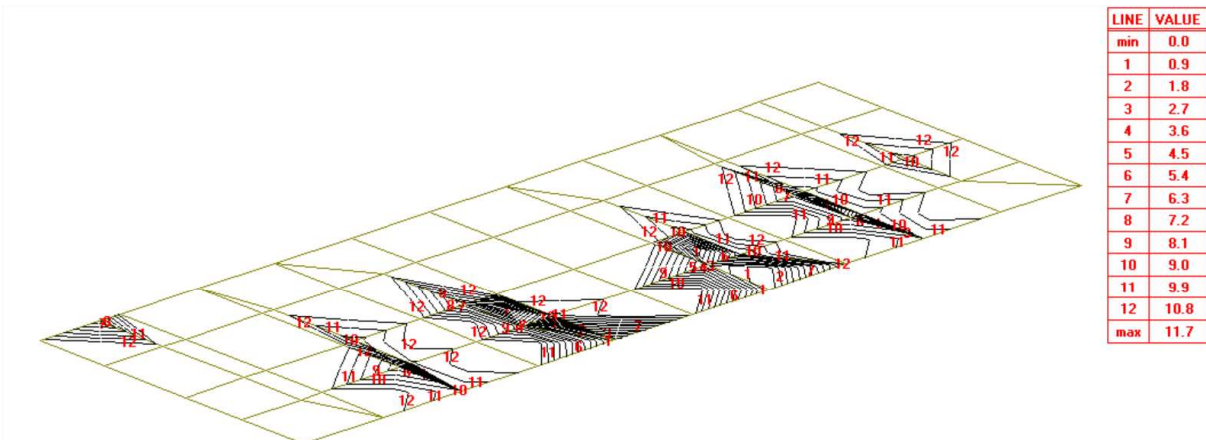
Concrete: 30 Steel: 490 Cover: 6. [Wood&Armer] (As in cm^2/meter)
+AsX CONTOUR LINES COMBINATIONS ENVELOPE

- Nutná plocha betonárskej výstuže – základová doska – priečny smer – spodná výstuž
 $-A_{sy}(\text{cm}^2)$



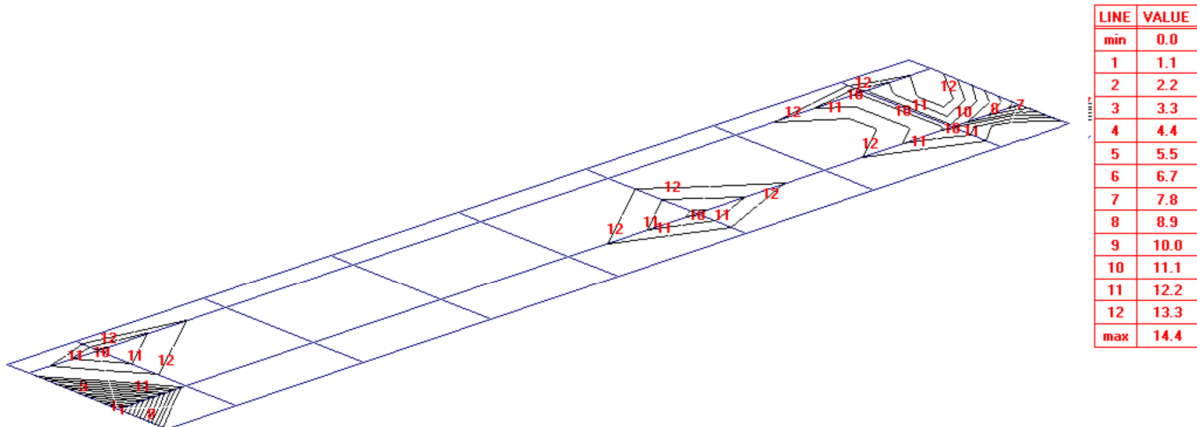
Concrete: 30 Steel: 490 Cover: 6. [Wood&Armer] (As in cm^2/meter)
 -AsY CONTOUR LINES COMBINATIONS ENVELOPE

- Nutná plocha betonárskej výstuže – základová doska – priečny smer – horná výstuž
 $+A_{sy}(\text{cm}^2)$



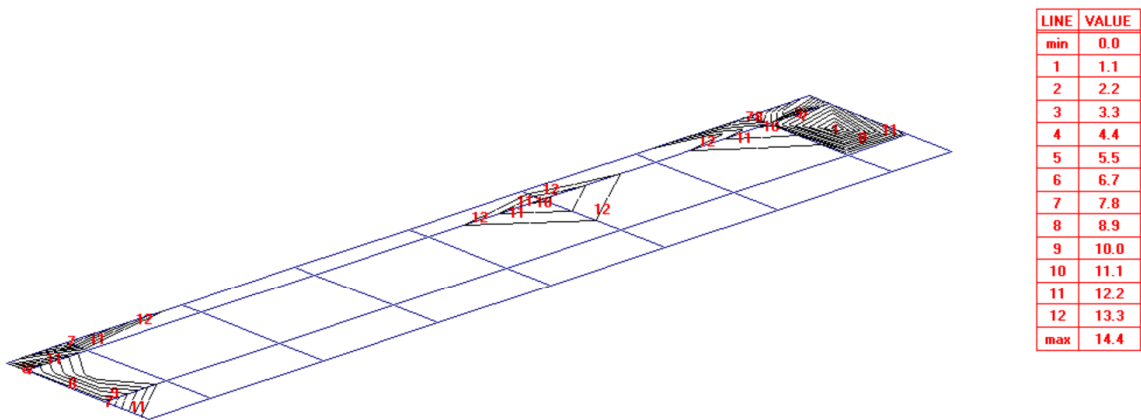
Concrete: 30 Steel: 490 Cover: 6. [Wood&Armer] (As in cm^2/meter)
 +AsY CONTOUR LINES COMBINATIONS ENVELOPE

- Nutná plocha betonárskej výstuže – úložný prah – pozdĺžny smer – spodná výstuž
 $-A_{sx}(\text{cm}^2)$



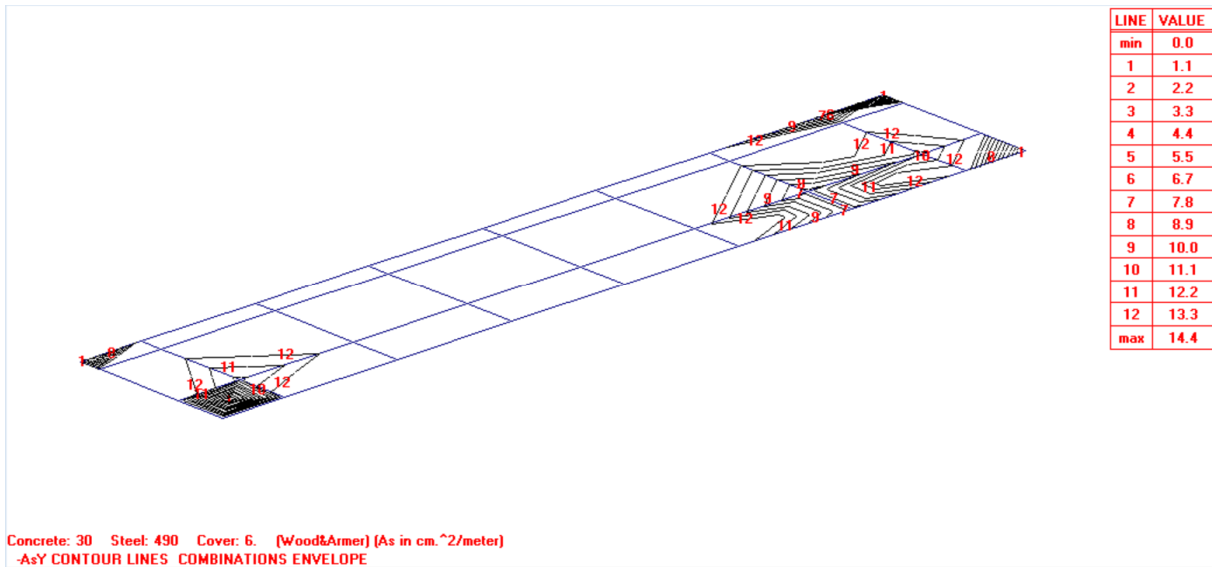
Concrete: 30 Steel: 490 Cover: 6. (Wood&Armer) (As in $\text{cm.}^2/\text{meter}$)
 $+A_{sx}$ CONTOUR LINES COMBINATIONS ENVELOPE

- Nutná plocha betonárskej výstuže – úložný prah – pozdĺžny smer –horná výstuž
 $+A_{sx}(\text{cm}^2)$

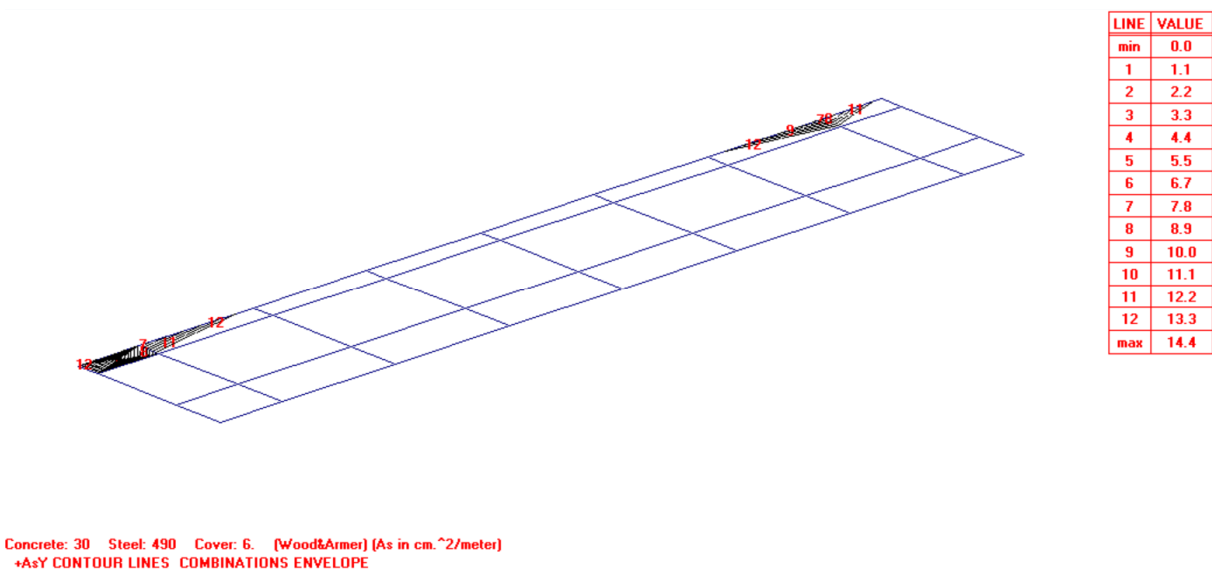


Concrete: 30 Steel: 490 Cover: 6. (Wood&Armer) (As in $\text{cm.}^2/\text{meter}$)
 $+A_{sx}$ CONTOUR LINES COMBINATIONS ENVELOPE

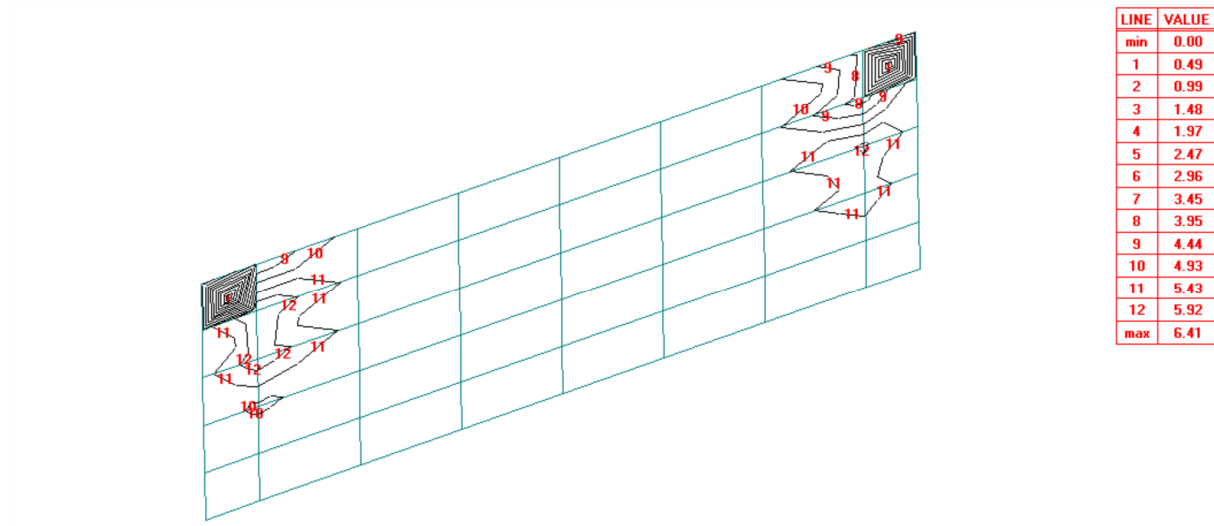
- Nutná plocha betonárskej výstuže – úložný prah – priečny smer – spodná výstuž
 $-A_{sy}(\text{cm}^2)$



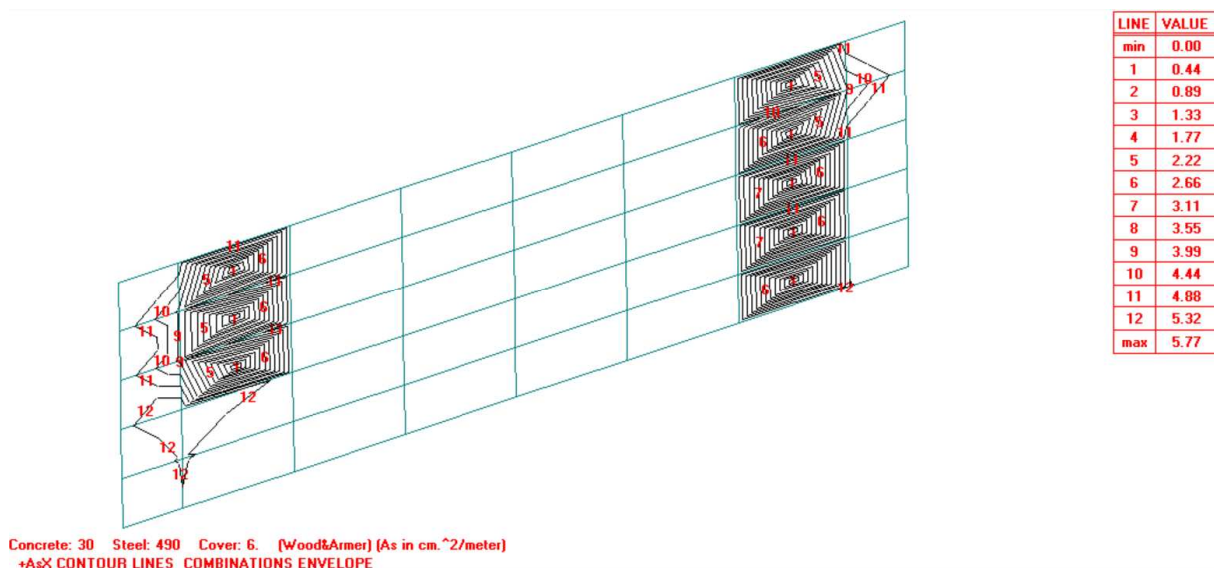
- Nutná plocha betonárskej výstuže – úložný prah – priečny smer – horná výstuž
 $+A_{sy}(\text{cm}^2)$



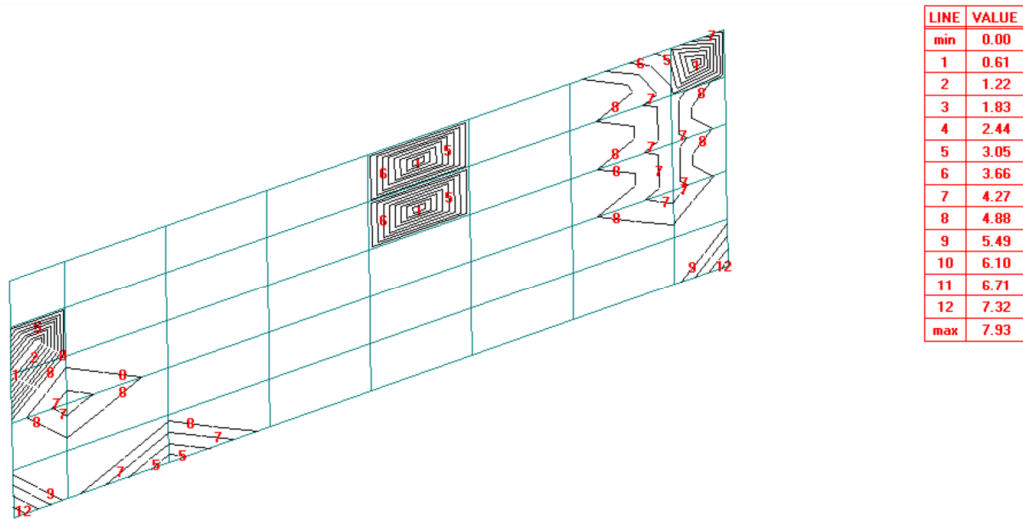
- Nutná plocha betonárskej výstuže – záverný múrik – pozdĺžny smer – spodná výstuž
 $-A_{sx}(\text{cm}^2)$



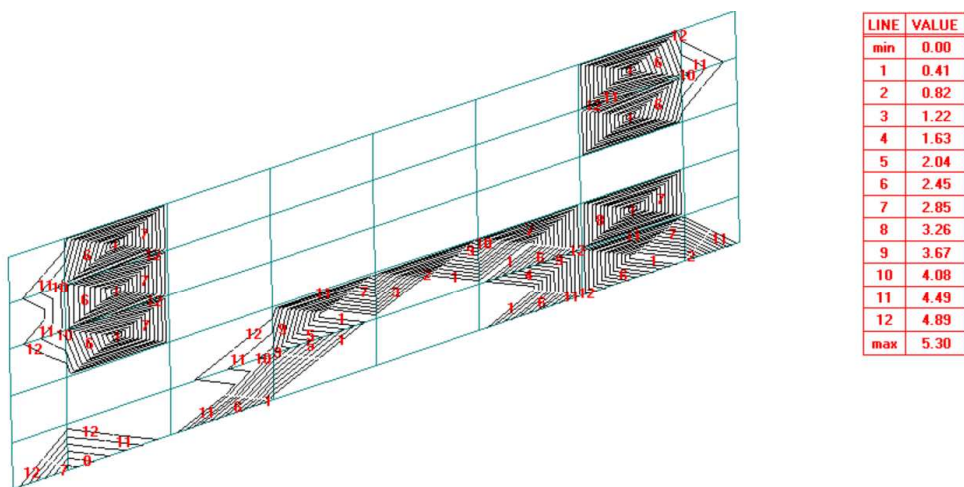
- Nutná plocha betonárskej výstuže – záverný múrik – pozdĺžny smer –horná výstuž
 $+A_{sx}(\text{cm}^2)$



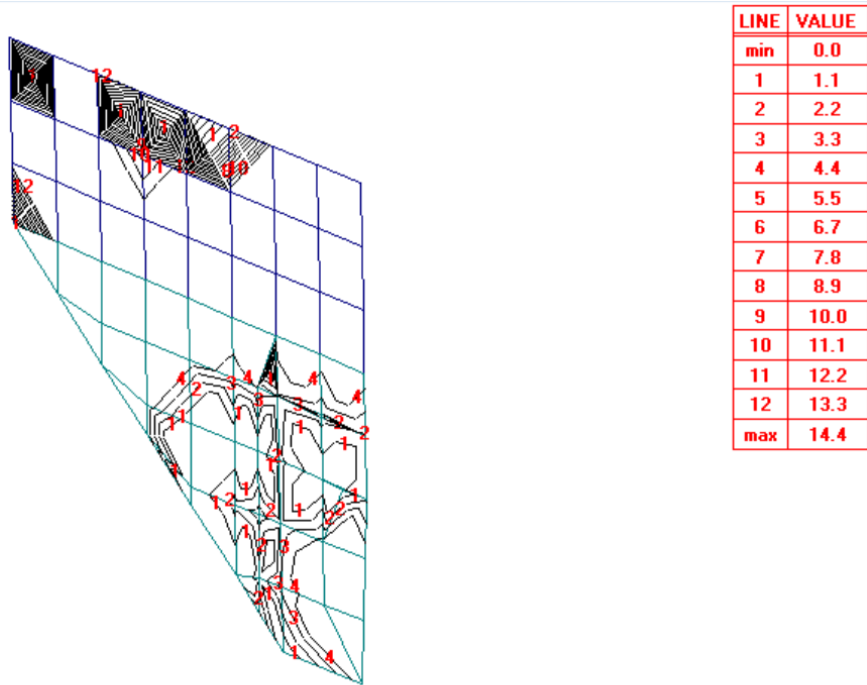
- Nutná plocha betonárskej výstuže – záverný múrik – priečny smer – spodná výstuž
 $-A_{sy}(\text{cm}^2)$



- Nutná plocha betonárskej výstuže – záverný múrik – priečny smer – horná výstuž
 $+A_{sy}(\text{cm}^2)$

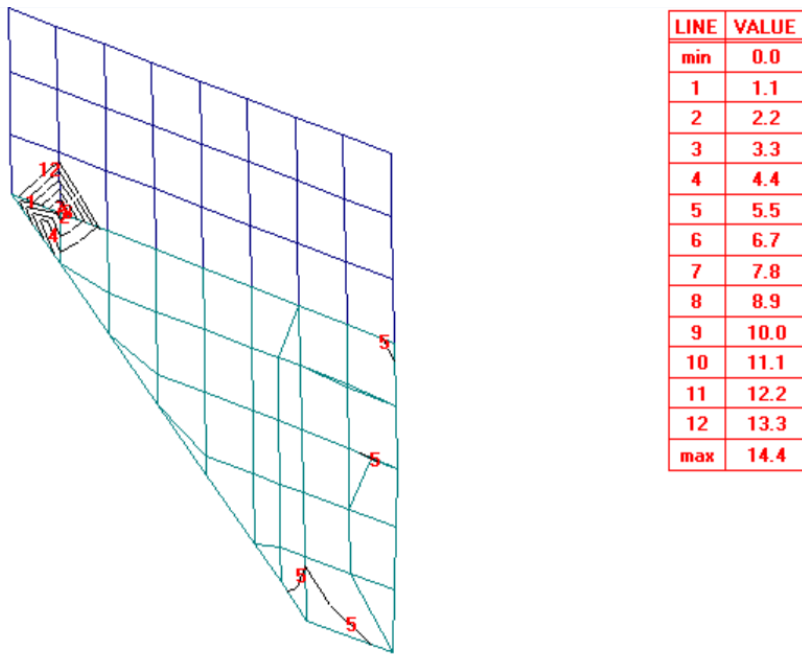


- Nutná plocha betonárskej výstuže – krídlo – pozdĺžny smer – spodná výstuž $-A_{sx}(\text{cm}^2)$



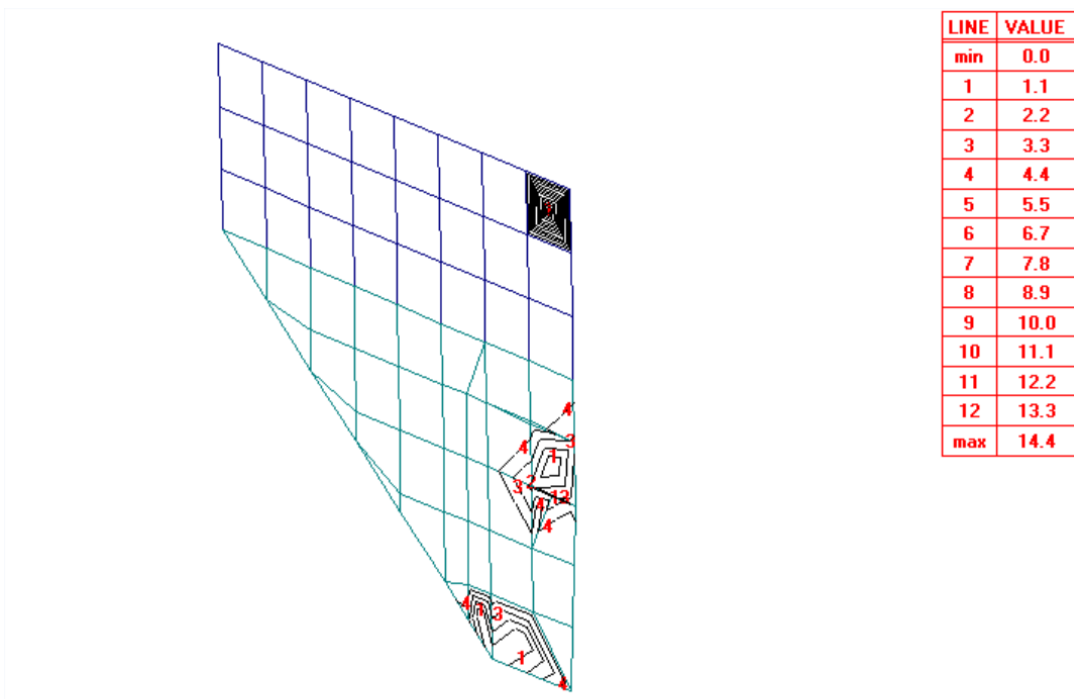
Concrete: 30 Steel: 490 Cover: 6. (Wood&Armer) [As in cm^2/meter]
 $-A_{sx}$ CONTOUR LINES COMBINATIONS ENVELOPE

- Nutná plocha betonárskej výstuže – krídlo – pozdĺžny smer –horná výstuž $+A_{sx}(\text{cm}^2)$



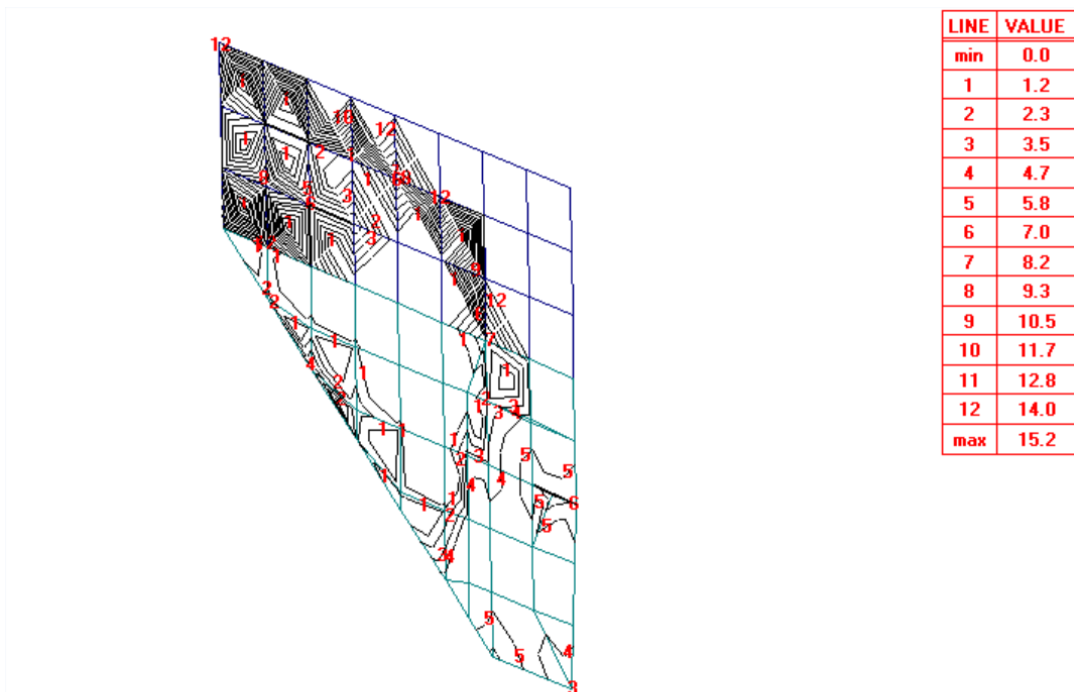
Concrete: 30 Steel: 490 Cover: 6. (Wood&Armer) [As in cm^2/meter]
 $+A_{sx}$ CONTOUR LINES COMBINATIONS ENVELOPE

- Nutná plocha betonárskej výstuže – krídlo – priečny smer – spodná výstuž $-A_{sy}(\text{cm}^2)$



Concrete: 30 Steel: 490 Cover: 6. (Wood&Armer) (As in $\text{cm.}^2/\text{meter}$)
 $-A_{sy}$ CONTOUR LINES COMBINATIONS ENVELOPE

- Nutná plocha betonárskej výstuže – krídlo – priečny smer – horná výstuž $+A_{sy}(\text{cm}^2)$



Concrete: 30 Steel: 490 Cover: 6. (Wood&Armer) (As in $\text{cm.}^2/\text{meter}$)
 $+A_{sy}$ CONTOUR LINES COMBINATIONS ENVELOPE

8. Záver

Tento statický výpočet bol vypracovaný za predpokladu istých vstupných údajov (geometria, materiálové vlastnosti a pod.). V prípade zmeny týchto vstupných údajov je potrebné statický výpočet prehodnotiť.

V Bratislave 10.8.2015